

# Резонансы в фотоннокристаллических слоях: фундаментальные основы и применения

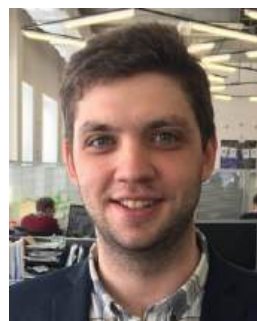
Сергей Дьяков



Natalia Salakhova  
phd student



Ilya Smagin  
phd student



Ilya Fradkin  
research scientist



Sergey Dyakov  
associate professor



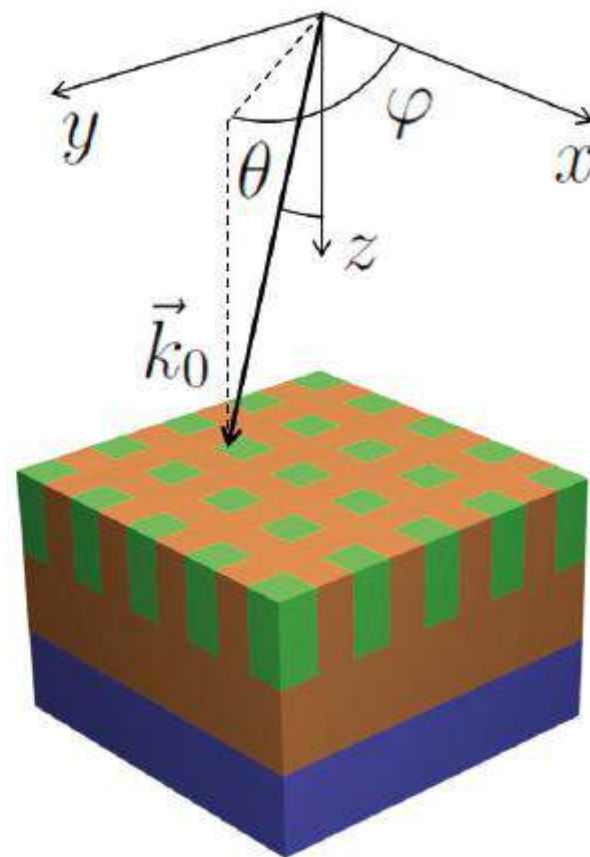
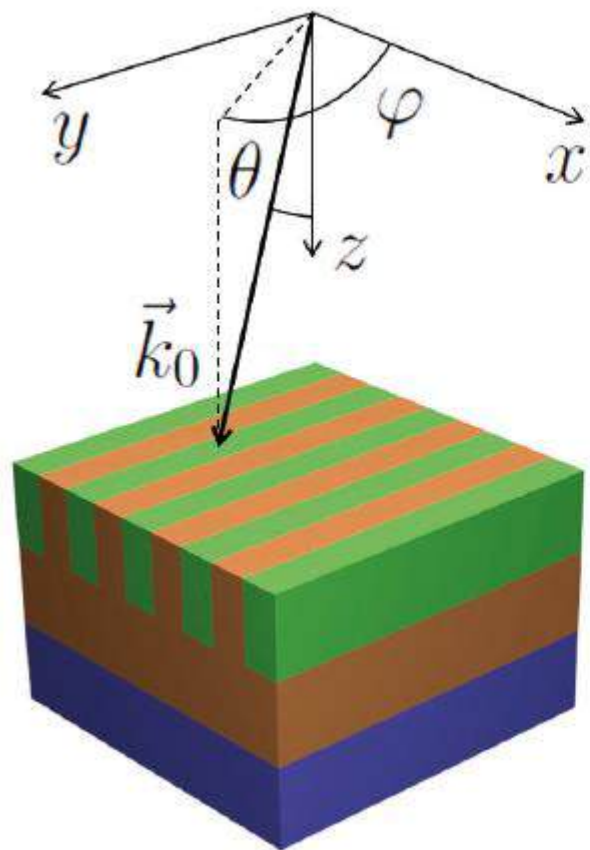
Nikolay Gippius  
professor

## Skoltech

Группа теоретической  
нанофотоники

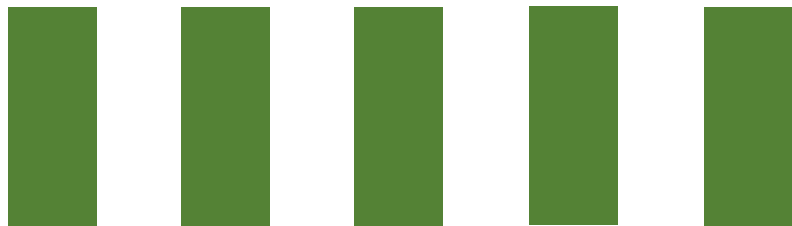
Часть 1  
Фурье-модальный метод

# Фурье-модальныйый метод



# Уравнения Максвелла

бесконечно толстый слой с бесконечным  
числом периодов



$$\begin{aligned}\nabla \times \vec{H}(\vec{r}, t) - \frac{1}{c} \frac{\partial \vec{D}(\vec{r}, t)}{\partial t} &= \frac{4\pi}{c} \vec{j}(\vec{r}, t) \\ \nabla \times \vec{E}(\vec{r}, t) + \frac{1}{c} \frac{\partial \vec{B}(\vec{r}, t)}{\partial t} &= 0 \\ \nabla \cdot \vec{B}(\vec{r}, t) &= 0 \\ \nabla \cdot \vec{D}(\vec{r}, t) &= 4\pi \rho(\vec{r}, t)\end{aligned}$$

$$\vec{E}(\vec{r}, t) = \int_{-\infty}^{\infty} \vec{E}(\vec{r}, \omega) e^{-i\omega t} d\omega$$

$$\vec{D}(\vec{r}, \omega) = \hat{\varepsilon}(\vec{r}, \omega) \vec{E}(\vec{r}, \omega)$$

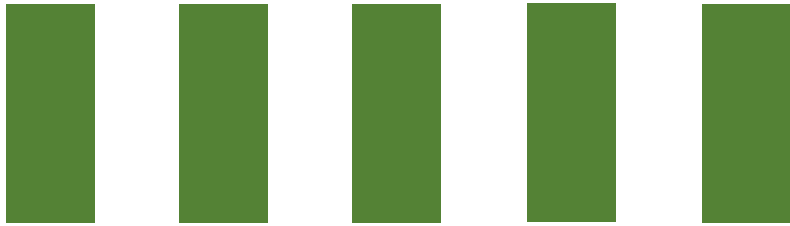
$$\vec{B}(\vec{r}, \omega) = \hat{\mu}(\vec{r}, \omega) \vec{H}(\vec{r}, \omega)$$

$$\nabla \times \vec{E}(\vec{r}, \omega) = +ik_0 \mu \vec{H}(\vec{r}, \omega)$$

$$\nabla \times \vec{H}(\vec{r}, \omega) = -ik_0 \varepsilon \vec{E}(\vec{r}, \omega) + \frac{4\pi}{c} \vec{j}(\vec{r}, \omega)$$

# Вид решений уравнений Максвелла в периодическом слое

бесконечно толстый слой с бесконечным  
числом периодов



$$\nabla \times \vec{E}(\vec{r}, \omega) = +ik_0\mu\vec{H}(\vec{r}, \omega)$$
$$\nabla \times \vec{H}(\vec{r}, \omega) = -ik_0\varepsilon\vec{E}(\vec{r}, \omega) + \frac{4\pi}{c}\vec{j}(\vec{r}, \omega).$$

$$\varepsilon(\boldsymbol{\rho} + m_1\mathbf{a}_1 + m_2\mathbf{a}_2) = \varepsilon(\boldsymbol{\rho})$$

$$\mu(\boldsymbol{\rho} + m_1\mathbf{a}_1 + m_2\mathbf{a}_2) = \mu(\boldsymbol{\rho})$$

Теорема Блоха:

$$E_\alpha(\boldsymbol{\rho}, z, \omega) = \tilde{E}_\alpha(\boldsymbol{\rho}, z, \omega)e^{i\kappa\rho}$$
$$H_\alpha(\boldsymbol{\rho}, z, \omega) = \tilde{H}_\alpha(\boldsymbol{\rho}, z, \omega)e^{i\kappa\rho}$$

периодические функции      плоская волна

$$E_\alpha(\boldsymbol{\rho}, z, \omega) = \sum_{\gamma} \tilde{E}_{\alpha\gamma}(z, \omega)e^{i(\kappa+g_\gamma)\rho},$$
$$H_\alpha(\boldsymbol{\rho}, z, \omega) = \sum_{\gamma} \tilde{H}_{\alpha\gamma}(z, \omega)e^{i(\kappa+g_\gamma)\rho},$$

набор бесконечного  
числа фурье-  
компонент

$$\mathbf{g}_\gamma = [g_x^{(\gamma)}, g_y^{(\gamma)}] \quad \gamma\text{-тая гармоника}$$

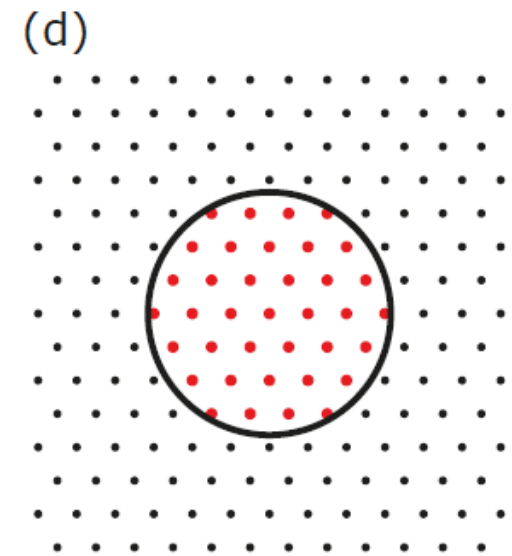
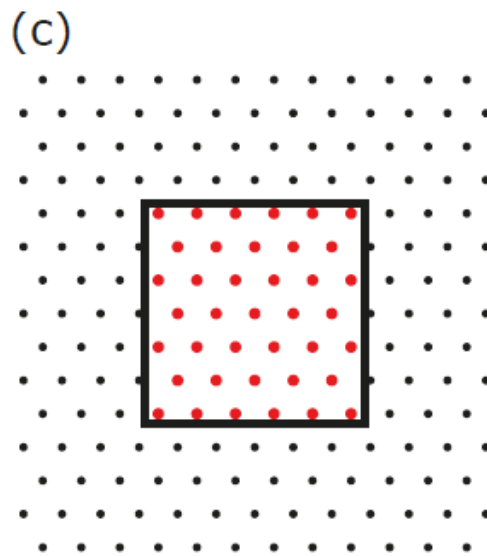
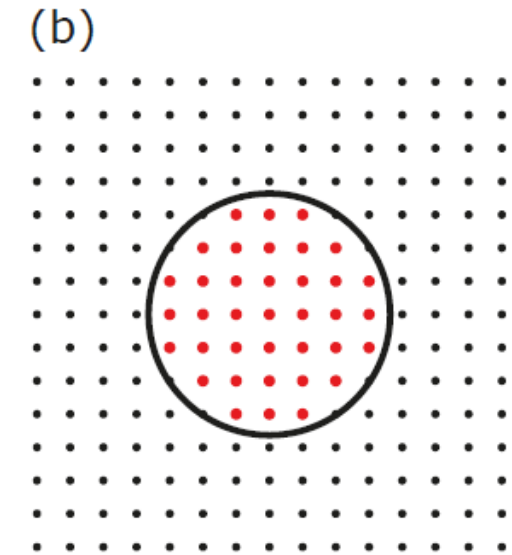
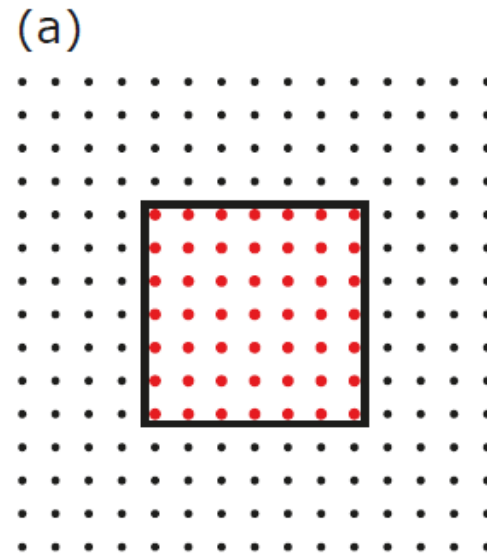
# Гармоники в пространстве волновых векторов

Базисные вектора обратной решетки в K-пространстве

$$b_1 = \frac{2\pi R a_2}{(a_1 \cdot R a_2)}, \quad b_2 = \frac{2\pi R a_1}{(a_2 \cdot R a_1)},$$

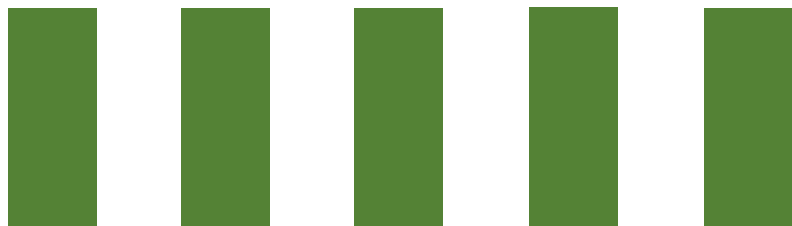
R – матрица поворота на угол  $90^\circ$

для практических расчетов  
выбирается конечное число  
гармоник



# Уравнения Максвелла в периодическом слое

бесконечно толстый слой с бесконечным  
числом периодов



$$-i \frac{d}{dz} F(z) = \mathbb{C}F(z) - iJ(z)$$

Будем искать решение в виде  
распространяющихся плоских волн:

$$F(z) = F e^{ik_z z}$$

Задача на собственные значения

$$\mathbb{C}F = k_z F$$

$$\begin{aligned} \mathbb{C}_{11} &= k_0 \begin{bmatrix} -\tilde{\mu}_{23}K_y - K_x\tilde{\varepsilon}_{31} & +\tilde{\mu}_{23}K_x - K_x\tilde{\varepsilon}_{32} \\ +\tilde{\mu}_{13}K_y - K_y\tilde{\varepsilon}_{31} & -\tilde{\mu}_{13}K_x - K_y\tilde{\varepsilon}_{32} \end{bmatrix} \\ \mathbb{C}_{12} &= k_0 \begin{bmatrix} +\tilde{\mu}_{21} + K_x\tilde{\varepsilon}_{33}K_y & +\tilde{\mu}_{22} - K_x\tilde{\varepsilon}_{33}K_x \\ -\tilde{\mu}_{11} + K_y\tilde{\varepsilon}_{33}K_y & -\tilde{\mu}_{12} - K_y\tilde{\varepsilon}_{33}K_x \end{bmatrix} \\ \mathbb{C}_{21} &= k_0 \begin{bmatrix} -\tilde{\varepsilon}_{21} - K_x\tilde{\mu}_{33}K_y & -\tilde{\varepsilon}_{22} + K_x\tilde{\mu}_{33}K_x \\ +\tilde{\varepsilon}_{11} - K_y\tilde{\mu}_{33}K_y & +\tilde{\varepsilon}_{12} + K_y\tilde{\mu}_{33}K_x \end{bmatrix} \\ \mathbb{C}_{22} &= k_0 \begin{bmatrix} -\tilde{\varepsilon}_{23}K_y - K_x\tilde{\mu}_{31} & +\tilde{\varepsilon}_{23}K_x - K_x\tilde{\mu}_{32} \\ +\tilde{\varepsilon}_{13}K_y - K_y\tilde{\mu}_{31} & -\tilde{\varepsilon}_{13}K_x - K_y\tilde{\mu}_{32} \end{bmatrix} \end{aligned}$$

$$F(z) = \begin{bmatrix} E_x(z) \\ E_y(z) \\ H_x(z) \\ H_y(z) \end{bmatrix},$$

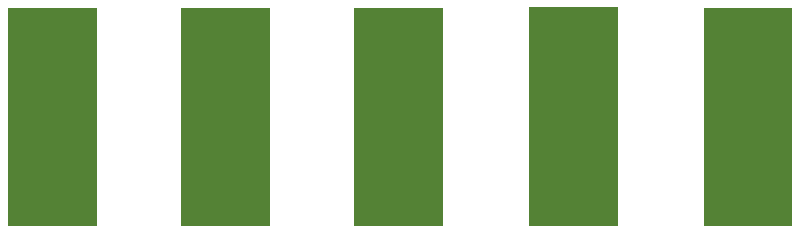
$$J(z) = \begin{bmatrix} -K_x\tilde{\varepsilon}^{33}J_z(z) \\ -K_y\tilde{\varepsilon}^{33}J_z(z) \\ -iJ_y(z) + i\tilde{\varepsilon}^{23}J_z(z) \\ +iJ_x(z) - i\tilde{\varepsilon}^{13}J_z(z) \end{bmatrix}$$

Вектор Фурье-компонент полей

Вектор Фурье-компонент тока

# Уравнения Максвелла в периодическом слое

бесконечно толстый слой с бесконечным  
числом периодов



$$-i \frac{d}{dz} F(z) = \mathbb{C}F(z) - iJ(z)$$

Будем искать решение в виде  
распространяющихся плоских волн:

$$F(z) = F e^{ik_z z}$$

Задача на собственные значения

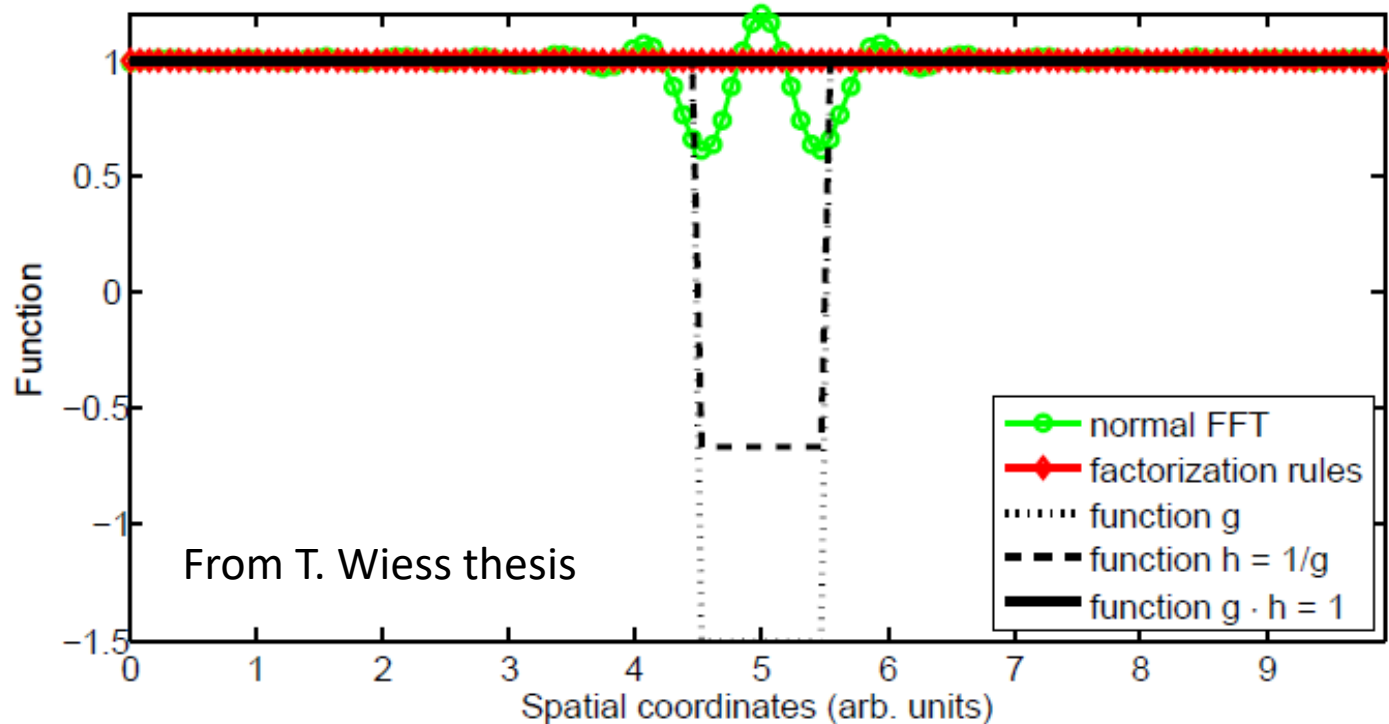
$$\mathbb{C}F = k_z F$$

$$\begin{aligned} \mathbb{C}_{11} &= k_0 \begin{bmatrix} -\tilde{\mu}_{23}K_y - K_x\tilde{\varepsilon}_{31} & +\tilde{\mu}_{23}K_x - K_x\tilde{\varepsilon}_{32} \\ +\tilde{\mu}_{13}K_y - K_y\tilde{\varepsilon}_{31} & -\tilde{\mu}_{13}K_x - K_y\tilde{\varepsilon}_{32} \end{bmatrix} \\ \mathbb{C}_{12} &= k_0 \begin{bmatrix} +\tilde{\mu}_{21} + K_x\tilde{\varepsilon}_{33}K_y & +\tilde{\mu}_{22} - K_x\tilde{\varepsilon}_{33}K_x \\ -\tilde{\mu}_{11} + K_y\tilde{\varepsilon}_{33}K_y & -\tilde{\mu}_{12} - K_y\tilde{\varepsilon}_{33}K_x \end{bmatrix} \\ \mathbb{C}_{21} &= k_0 \begin{bmatrix} -\tilde{\varepsilon}_{21} - K_x\tilde{\mu}_{33}K_y & -\tilde{\varepsilon}_{22} + K_x\tilde{\mu}_{33}K_x \\ +\tilde{\varepsilon}_{11} - K_y\tilde{\mu}_{33}K_y & +\tilde{\varepsilon}_{12} + K_y\tilde{\mu}_{33}K_x \end{bmatrix} \\ \mathbb{C}_{22} &= k_0 \begin{bmatrix} -\tilde{\varepsilon}_{23}K_y - K_x\tilde{\mu}_{31} & +\tilde{\varepsilon}_{23}K_x - K_x\tilde{\mu}_{32} \\ +\tilde{\varepsilon}_{13}K_y - K_y\tilde{\mu}_{31} & -\tilde{\varepsilon}_{13}K_x - K_y\tilde{\mu}_{32} \end{bmatrix} \end{aligned}$$

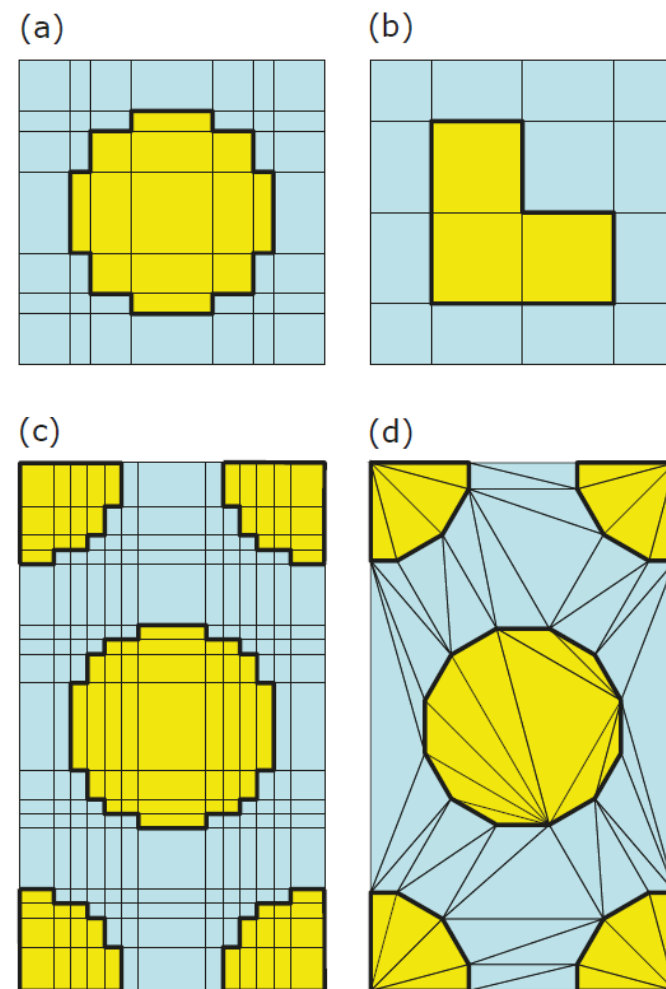
$$K_x = \frac{1}{k_0} \begin{bmatrix} k_x + g_x^{(1)} & 0 & \dots \\ 0 & k_x + g_x^{(2)} & \dots \\ \vdots & \vdots & \ddots \end{bmatrix}$$

диагональная матрица проекций  
волновых векторов гармоник

# Фурье-разложение диэлектрической функции



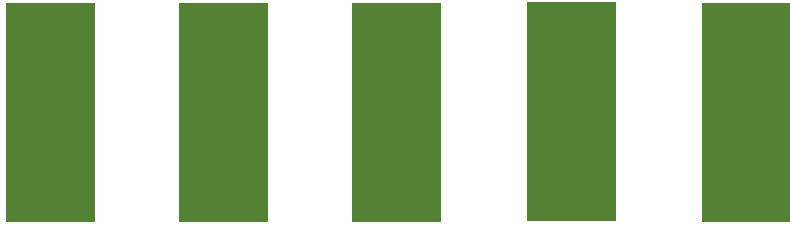
Для улучшения сходимости необходимо использовать правила факторизации.



разбиение слоя на элементарные фигуры

# Общее решение задачи на собственные значения

бесконечно толстый слой с бесконечным  
числом периодов



Задача на собственные значения

$$\mathbb{C}F = k_z F$$

Общее решение задачи на собственные значения

$$F(z) = \mathbb{F}A(z) \equiv \mathbb{F} \begin{bmatrix} \vec{d}(z) \\ \vec{u}(z) \end{bmatrix}$$

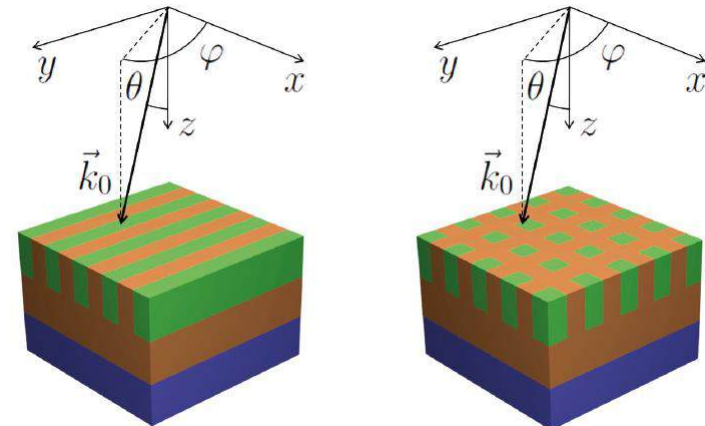
вектор амплитуд

- Собственные векторы оператора  $\mathbb{C}$  могут соответствовать решениям, распространяющимся в положительном и отрицательном  $z$ -направлении

- Матрица  $\mathbb{F}$  называется материальной матрицей и состоит из собственных векторов оператора  $\mathbb{C}$

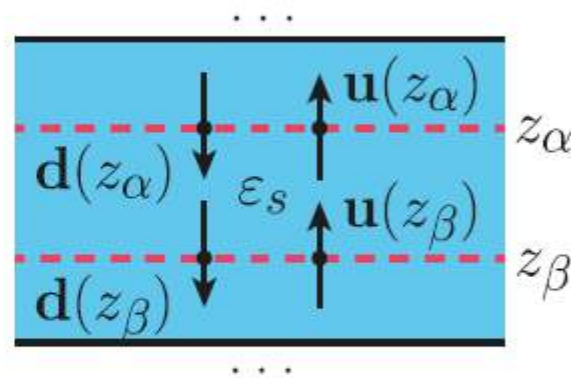
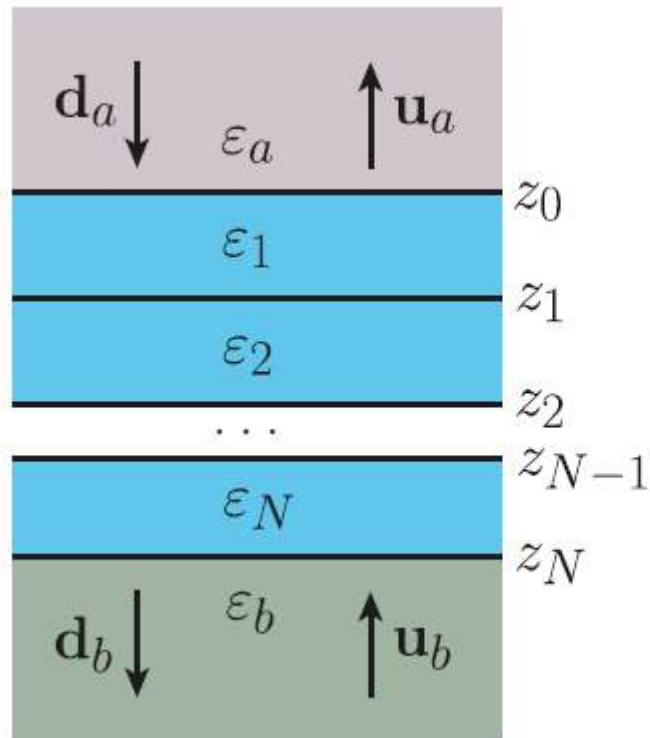
$$\mathbb{F} \equiv [F_1 \ F_2 \ F_3 \ \dots]$$

- Конкретное частное решение определяется граничными условиями

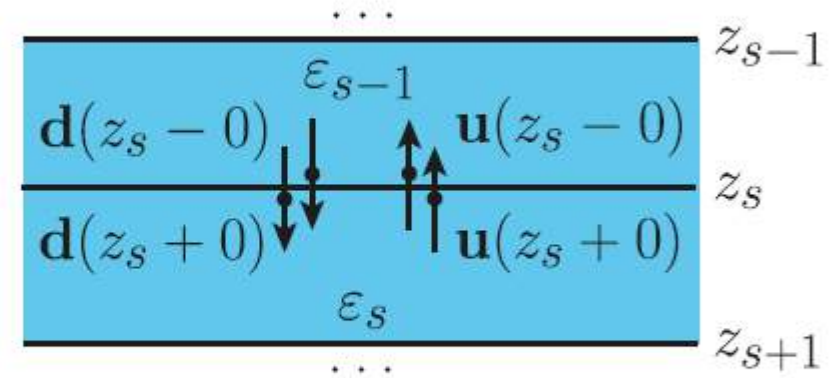


# Связь решений задачи на собственные значения

$$A(z_1) = \mathbb{T}(z_1, z_2)A(z_2) \quad \Longleftrightarrow \quad \begin{bmatrix} \vec{d}(z_2) \\ \vec{u}(z_2) \end{bmatrix} = \mathbb{T}(z_1, z_2) \begin{bmatrix} \vec{d}(z_1) \\ \vec{u}(z_1) \end{bmatrix}$$

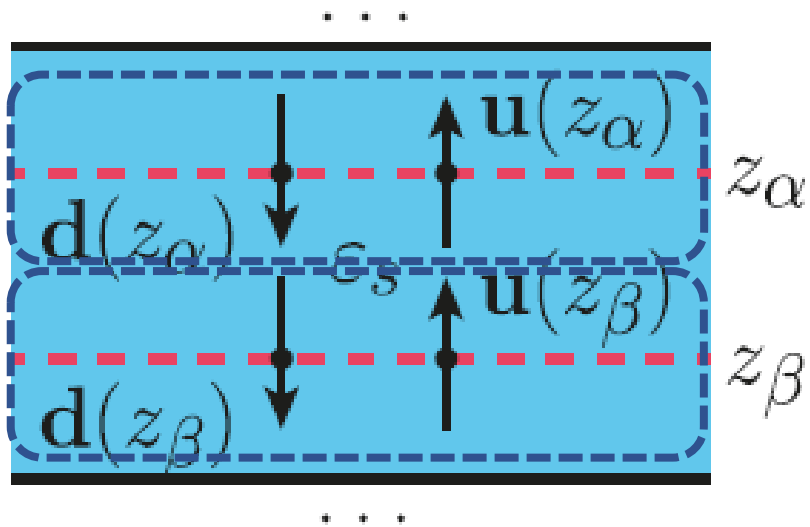


прохождение через слой



прохождение через интерфейс

# Прохождение через слой: матрица переноса



$$\begin{bmatrix} \vec{d}(z_2) \\ \vec{u}(z_2) \end{bmatrix} = \mathbb{T}(z_1, z_2) \begin{bmatrix} \vec{d}(z_1) \\ \vec{u}(z_1) \end{bmatrix}$$

матрица переноса при прохождении через слой

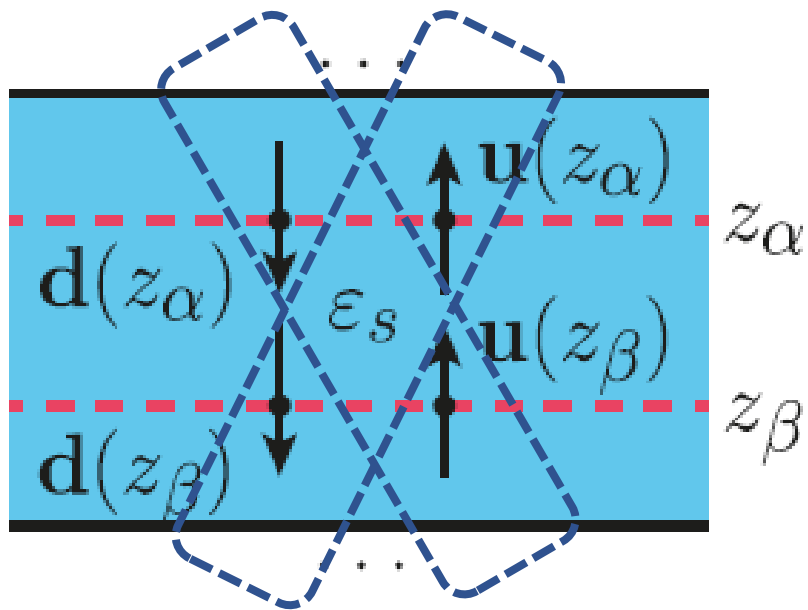
$$\mathbb{T}(z_1, z_2) = \begin{bmatrix} e^{iK_z^s(z_2-z_1)} & 0 \\ 0 & e^{-iK_z^s(z_2-z_1)} \end{bmatrix}$$

в поглощающих слоях

$$k_z = k'_z + ik''_z$$

**схема численно нестабильна**

# Прохождение через слой: матрица рассеяния



$$\begin{bmatrix} \vec{d}(z_2) \\ \vec{u}(z_1) \end{bmatrix} = \mathbb{S}(z_1, z_2) \begin{bmatrix} \vec{d}(z_1) \\ \vec{u}(z_2) \end{bmatrix}$$

матрица рассеяния при прохождении через слой

$$\mathbb{S}(z_1, z_2) = \begin{bmatrix} e^{iK_z^s(z_2-z_1)} & 0 \\ 0 & e^{iK_z^s(z_2-z_1)} \end{bmatrix}$$

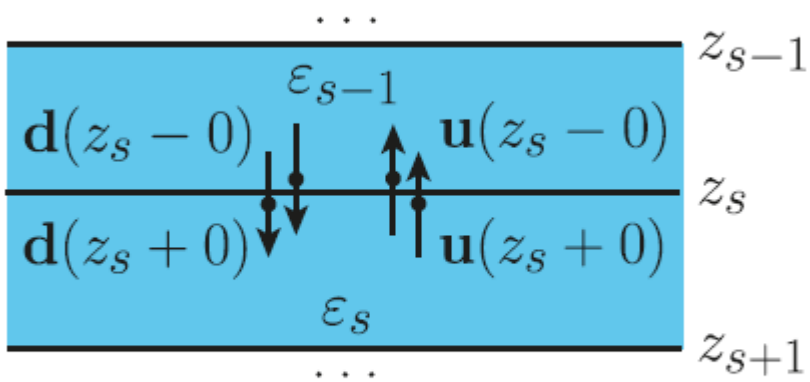
в поглощающих слоях

$$k_z = k'_z + ik''_z$$

**схема численно стабильна**

# Прохождение через интерфейс

Непрерывность тангенциальных компонент Фурье-компонент полей на границе раздела



$$F(z_0 - 0) = F(z_0 + 0)$$

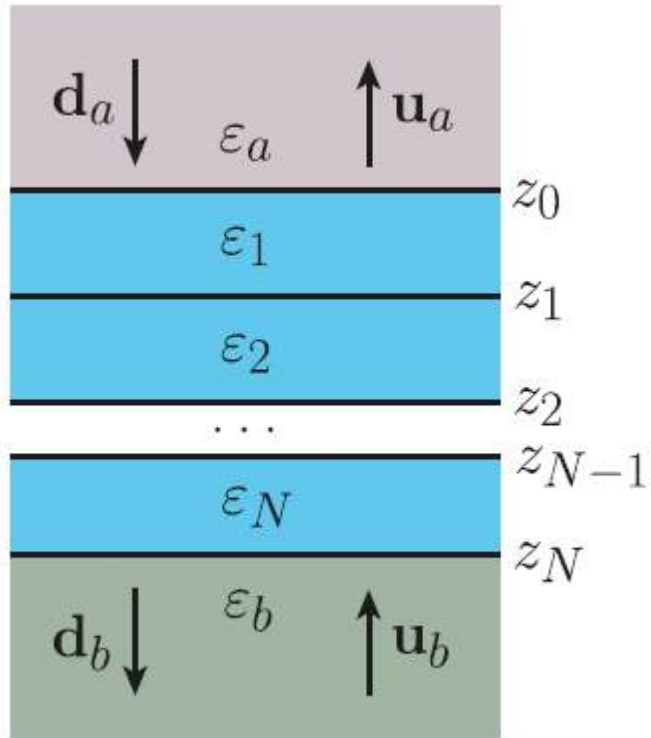
$$\mathbb{F}_{j-1}A(z_0 - 0) = \mathbb{F}_jA(z_0 + 0)$$

$$\begin{bmatrix} \vec{d}(z_0 + 0) \\ \vec{u}(z_0 + 0) \end{bmatrix} = \boxed{\mathbb{F}_j^{-1}\mathbb{F}_{j-1}} \begin{bmatrix} \vec{d}(z_0 - 0) \\ \vec{u}(z_0 - 0) \end{bmatrix}$$

матрица прохождения  
через интерфейс в  
формализме оператора  
переноса

$$\mathbb{S} = \begin{bmatrix} S_{11} & S_{12} \\ S_{21} & S_{22} \end{bmatrix} = \begin{bmatrix} T_{11} & -T_{12}T_{22}^{-1}T_{21} & T_{12}T_{22}^{-1} \\ T_{22}^{-1}T_{21} & T_{22}^{-1} \end{bmatrix}$$

# Полная матрица рассеяния



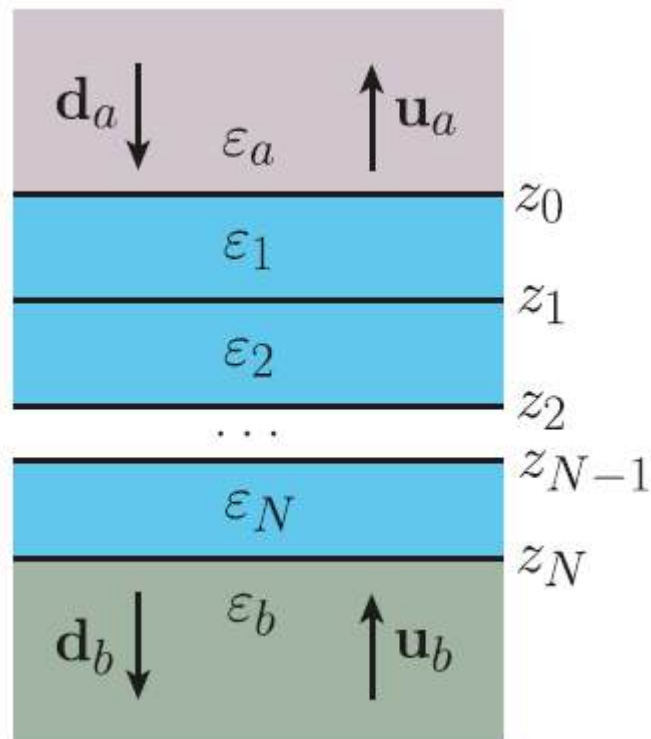
$$\begin{bmatrix} \vec{d}_b \\ \vec{u}_a \end{bmatrix} = \mathbb{S}_{\text{tot}} \begin{bmatrix} \vec{d}_a \\ \vec{u}_b \end{bmatrix}$$

$$\begin{bmatrix} \vec{d}(z_N + 0) \\ \vec{u}(z_0 - 0) \end{bmatrix} = \mathbb{S}(z_0 - 0, z_N + 0) \begin{bmatrix} \vec{d}(z_0 - 0) \\ \vec{u}(z_N + 0) \end{bmatrix}$$

Полная матрица рассеяния

- учитывает многократное отражение плоских волн от границ раздела слоев, набег фазы на толщинах слоев и непрерывность тангенциальных компонент полей.
- находится при помощи итерационной процедуры

# Расчет полной матрицы рассеяния



Вводя обозначение

$$\mathbb{S}(0-0, 0-0) = \mathcal{I}$$

$$\mathbb{I}_{s-1,s} \equiv \mathbb{S}(z_s - 0, z_s + 0)$$

$$\mathbb{P}_s \equiv \mathbb{S}(z_{s-1} + 0, z_s - 0),$$

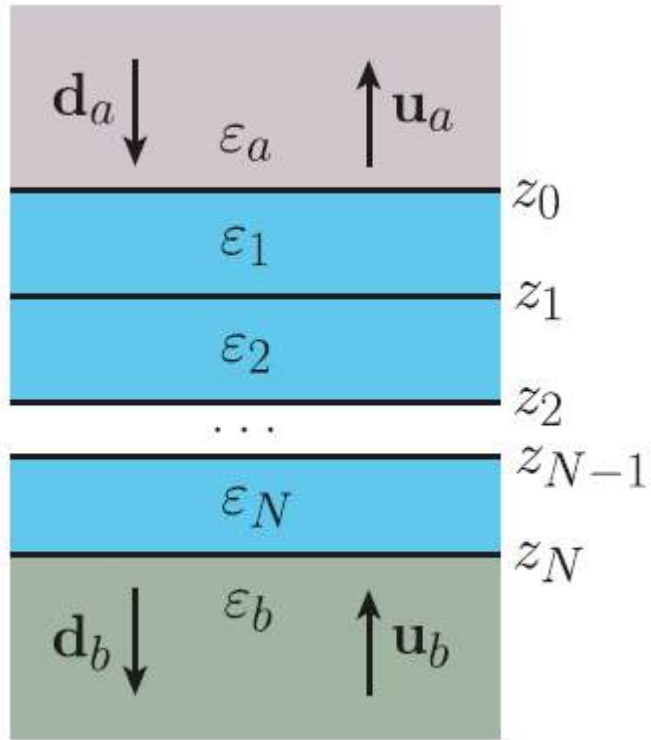
получим компактное выражение для полной матрицы рассеяния:

$$\mathbb{S}_{\text{tot}} = \mathbb{I}_{a1} \otimes \mathbb{P}_1 \otimes \mathbb{I}_{12} \otimes \mathbb{P}_{12} \cdots \mathbb{P}_{N-1,N} \otimes \mathbb{I}_{Nb},$$

где оператор  $\otimes$  обозначает объединение двух матриц рассеяния, который определяется следующим образом:

$$\mathbb{S} = \mathbb{S}^a \otimes \mathbb{S}^b = \begin{bmatrix} \mathbb{S}_{11}^b (\mathcal{I} - \mathbb{S}_{12}^a \mathbb{S}_{21}^b)^{-1} \mathbb{S}_{11}^a & \mathbb{S}_{12}^b + \mathbb{S}_{11}^b (\mathcal{I} - \mathbb{S}_{12}^a \mathbb{S}_{21}^b)^{-1} \mathbb{S}_{12}^a \mathbb{S}_{22}^b \\ \mathbb{S}_{21}^a + \mathbb{S}_{22}^a (\mathcal{I} - \mathbb{S}_{21}^b \mathbb{S}_{12}^a)^{-1} \mathbb{S}_{21}^b \mathbb{S}_{11}^a & \mathbb{S}_{22}^a (\mathcal{I} - \mathbb{S}_{21}^b \mathbb{S}_{12}^a)^{-1} \mathbb{S}_{22}^b \end{bmatrix}$$

# Расчет коэффициентов отражения, пропускания и поглощения



$$\begin{bmatrix} \vec{d}_b \\ \vec{u}_a \end{bmatrix} = \mathbb{S}(z_1, z_2) \begin{bmatrix} \vec{d}_a \\ \vec{o} \end{bmatrix}$$

Падающий вектор амплитуд

$$\vec{d}_a = \mathbb{F}_a^{-1} \begin{bmatrix} P_x \\ 0 \\ \vdots \\ P_y \\ 0 \\ \vdots \end{bmatrix}$$

Отраженный и прошедший вектора Фурье-компонент

$$\begin{bmatrix} E_x \\ E_y \\ H_x \\ H_y \end{bmatrix}_{\text{ref}} = \mathbb{F}_a \begin{bmatrix} \vec{o} \\ \vec{u}_a \end{bmatrix}$$

$$\begin{bmatrix} E_x \\ E_y \\ H_x \\ H_y \end{bmatrix}_{\text{trans}} = \mathbb{F}_b \begin{bmatrix} \vec{d}_b \\ \vec{o} \end{bmatrix}$$

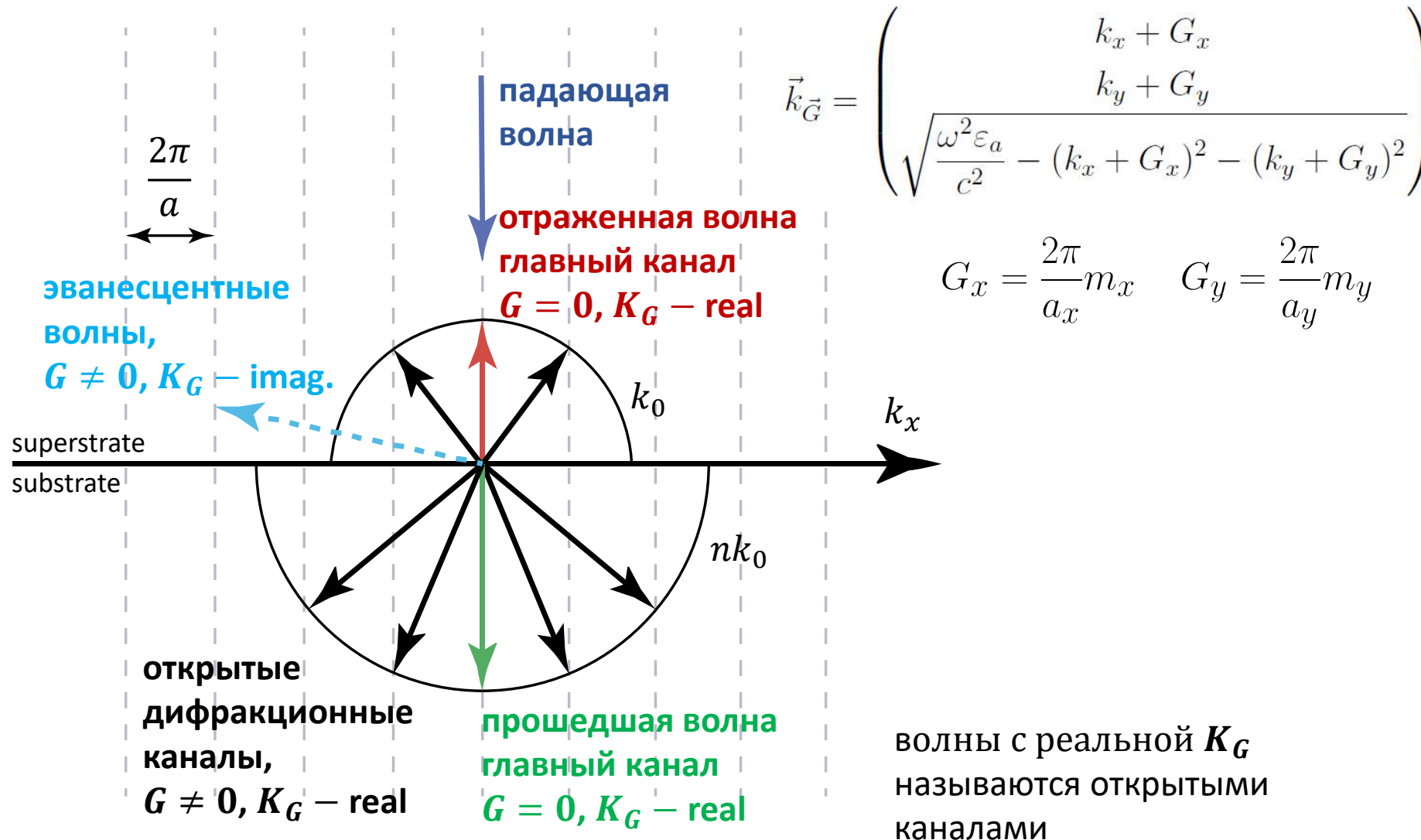
$$R = -\frac{S_z^{\text{ref}}}{S_z^{\text{inc}}},$$

$$T = \frac{S_z^{\text{trans}}}{S_z^{\text{inc}}},$$

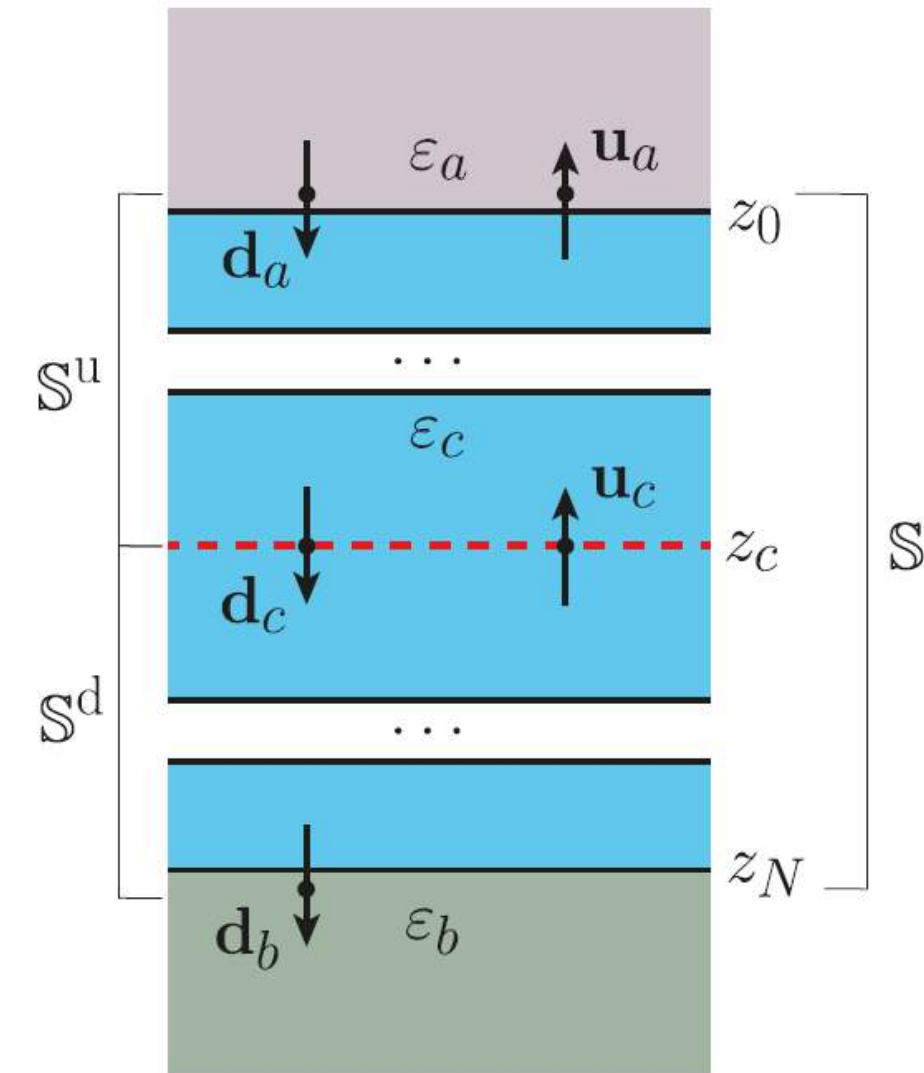
$$S_z \equiv \frac{c}{8\pi} \text{Re} \left( \left[ \vec{E} \times \vec{H}^* \right]_z \right)$$

$$= \frac{c}{8\pi} \text{Re} (E_x^\dagger H_y + E_x H_y^\dagger - E_y^\dagger H_x - E_y H_x^\dagger)$$

# Каналы дифракции



# Расчет распределения электромагнитного поля

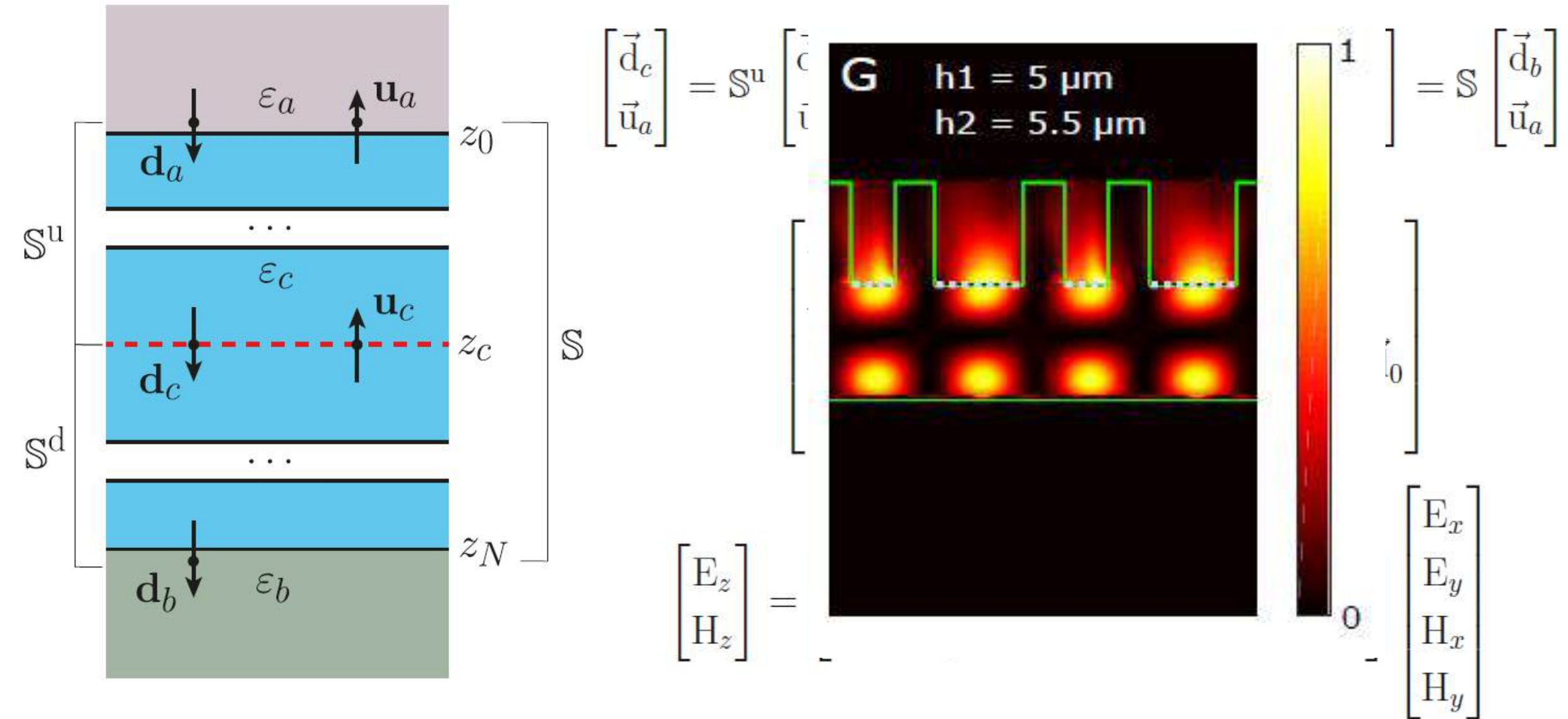


$$\begin{bmatrix} \vec{d}_c \\ \vec{u}_a \end{bmatrix} = S^u \begin{bmatrix} \vec{d}_a \\ \vec{u}_c \end{bmatrix}, \quad \begin{bmatrix} \vec{d}_b \\ \vec{u}_c \end{bmatrix} = S^d \begin{bmatrix} \vec{d}_c \\ \vec{u}_b \end{bmatrix}, \quad \begin{bmatrix} \vec{d}_a \\ \vec{u}_b \end{bmatrix} = S \begin{bmatrix} \vec{d}_b \\ \vec{u}_a \end{bmatrix}$$

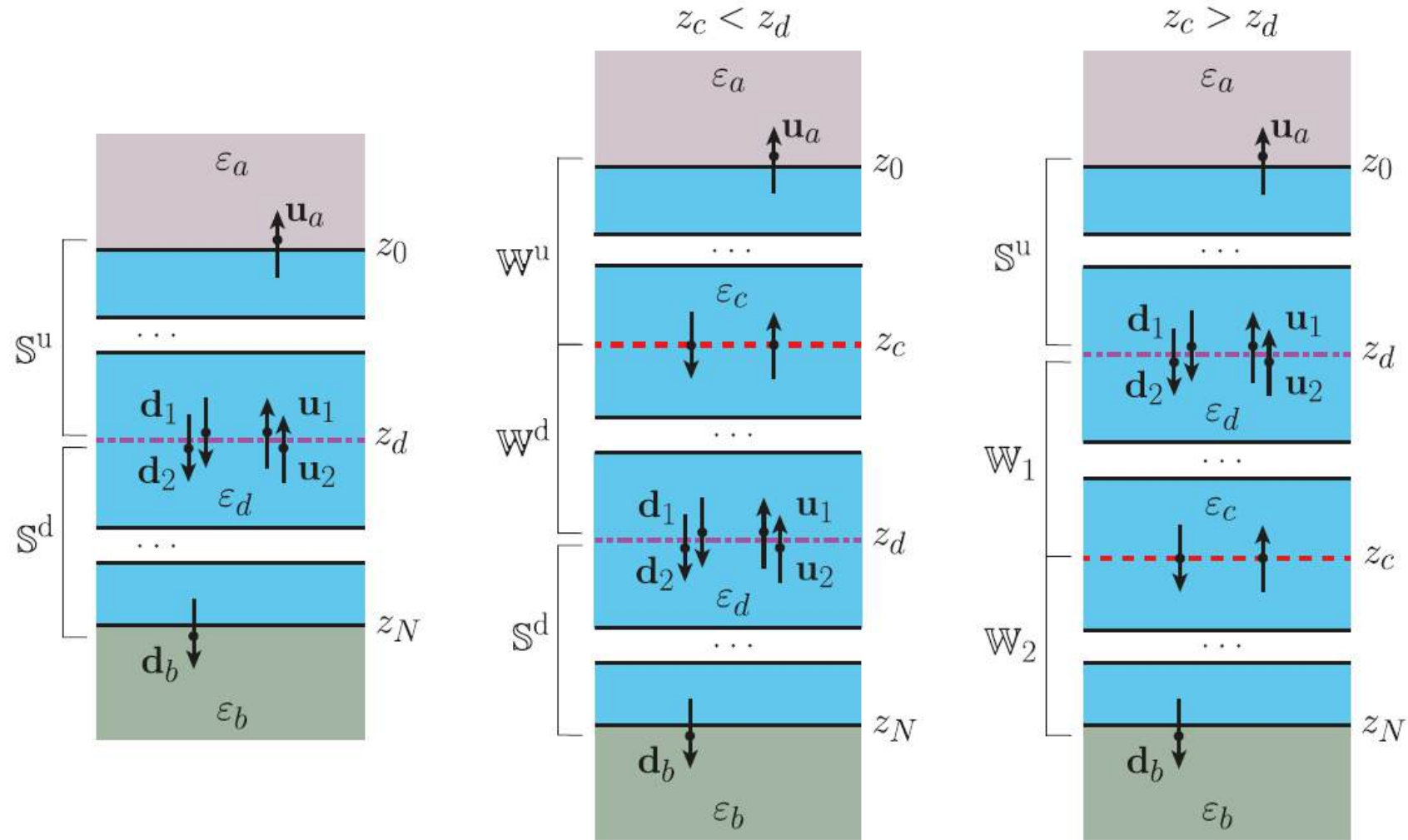
$$\begin{bmatrix} -S_{21}^d & \mathcal{I} \\ +S_{11}^d & \mathcal{O} \\ \mathcal{O} & +S_{22}^u \\ \mathcal{I} & -S_{12}^u \end{bmatrix} \begin{bmatrix} \vec{d}_c \\ \vec{u}_c \end{bmatrix} = \begin{bmatrix} \vec{o} \\ S_{11} \vec{d}_0 \\ (S_{21} - S_{21}^u) \vec{d}_0 \\ S_{11}^u \vec{d}_0 \end{bmatrix}$$

$$\begin{bmatrix} E_z \\ H_z \end{bmatrix} = \begin{bmatrix} -\tilde{\varepsilon}_{31} & -\tilde{\varepsilon}_{32} & \tilde{\varepsilon}_{33} K_y & -\tilde{\varepsilon}_{33} K_x \\ -\tilde{\mu}_{33} K_y & \tilde{\mu}_{33} K_x & -\tilde{\mu}_{31} & -\tilde{\mu}_{32} \end{bmatrix} \begin{bmatrix} E_x \\ E_y \\ H_x \\ H_y \end{bmatrix}$$

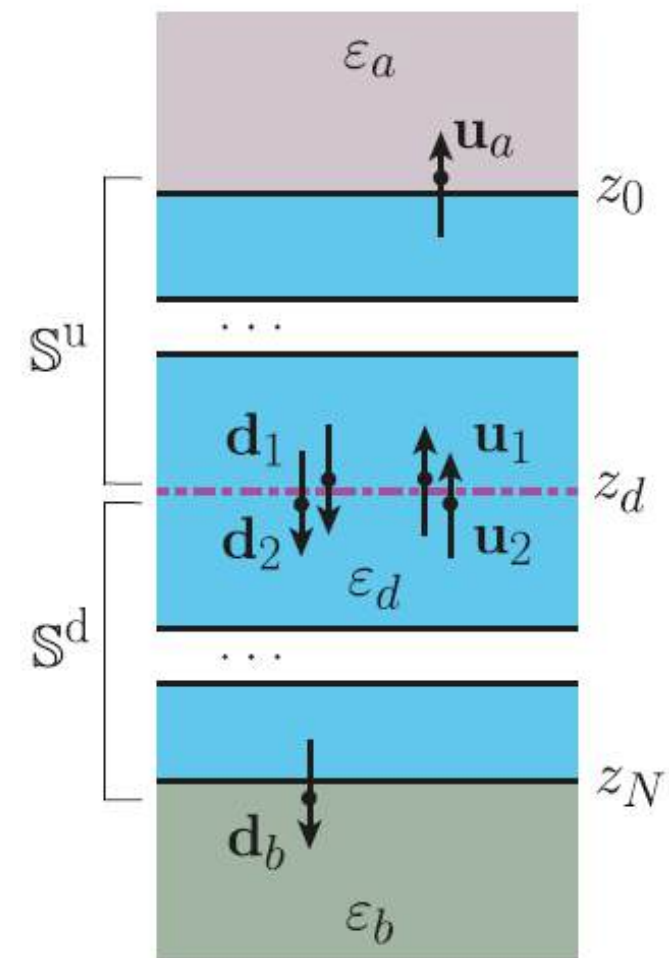
# Расчет распределения электромагнитного поля



# Расчет излучения осциллирующих токов



# Расчет интенсивности излучения осциллирующих токов



$$\vec{j}(\vec{r}, \omega) = \vec{j}(\omega) \delta(\vec{r} - \vec{r}_d)$$

$$J_\alpha = j_\alpha e^{-i\rho_d(\kappa + g^{(m)})}$$

гипервектор фурье-компонент полей имеет разрыв

$$\begin{bmatrix} E_x \\ E_y \\ H_x \\ H_y \end{bmatrix}_2 - \begin{bmatrix} E_x \\ E_y \\ H_x \\ H_y \end{bmatrix}_1 = \begin{bmatrix} -K_x \tilde{\varepsilon}^{33} J_z \\ -K_y \tilde{\varepsilon}^{33} J_z \\ -iJ_y + i\tilde{\varepsilon}^{23} J_z \\ +iJ_x - i\tilde{\varepsilon}^{13} J_z \end{bmatrix}$$

вектор амплитуд имеет разрыв

$$\begin{bmatrix} \vec{d}_2 \\ \vec{u}_2 \end{bmatrix} - \begin{bmatrix} \vec{d}_1 \\ \vec{u}_1 \end{bmatrix} = \begin{bmatrix} \vec{j}_d \\ \vec{j}_u \end{bmatrix} \equiv \mathbb{F}^{-1} \mathbf{J}$$

$$\begin{bmatrix} \vec{d}_1 \\ \vec{u}_1 \end{bmatrix} = \mathbb{S}^u \begin{bmatrix} \vec{o} \\ \vec{u}_1 \end{bmatrix}, \quad \begin{bmatrix} \vec{d}_b \\ \vec{u}_2 \end{bmatrix} = \mathbb{S}^d \begin{bmatrix} \vec{d}_2 \\ \vec{o} \end{bmatrix}$$

Вектора амплитуд внутри структуры

$$\begin{bmatrix} \vec{d}_1 \\ \vec{u}_1 \end{bmatrix} = \begin{bmatrix} \mathbb{S}_{12}^u (\mathbb{S}_{21}^d \mathbb{S}_{12}^u - \mathcal{I})^{-1} (\vec{j}_d - \mathbb{S}_{21}^d \vec{j}_u) \\ (\mathbb{S}_{21}^d \mathbb{S}_{12}^u - \mathcal{I})^{-1} (\vec{j}_d - \mathbb{S}_{21}^d \vec{j}_u) \end{bmatrix}$$

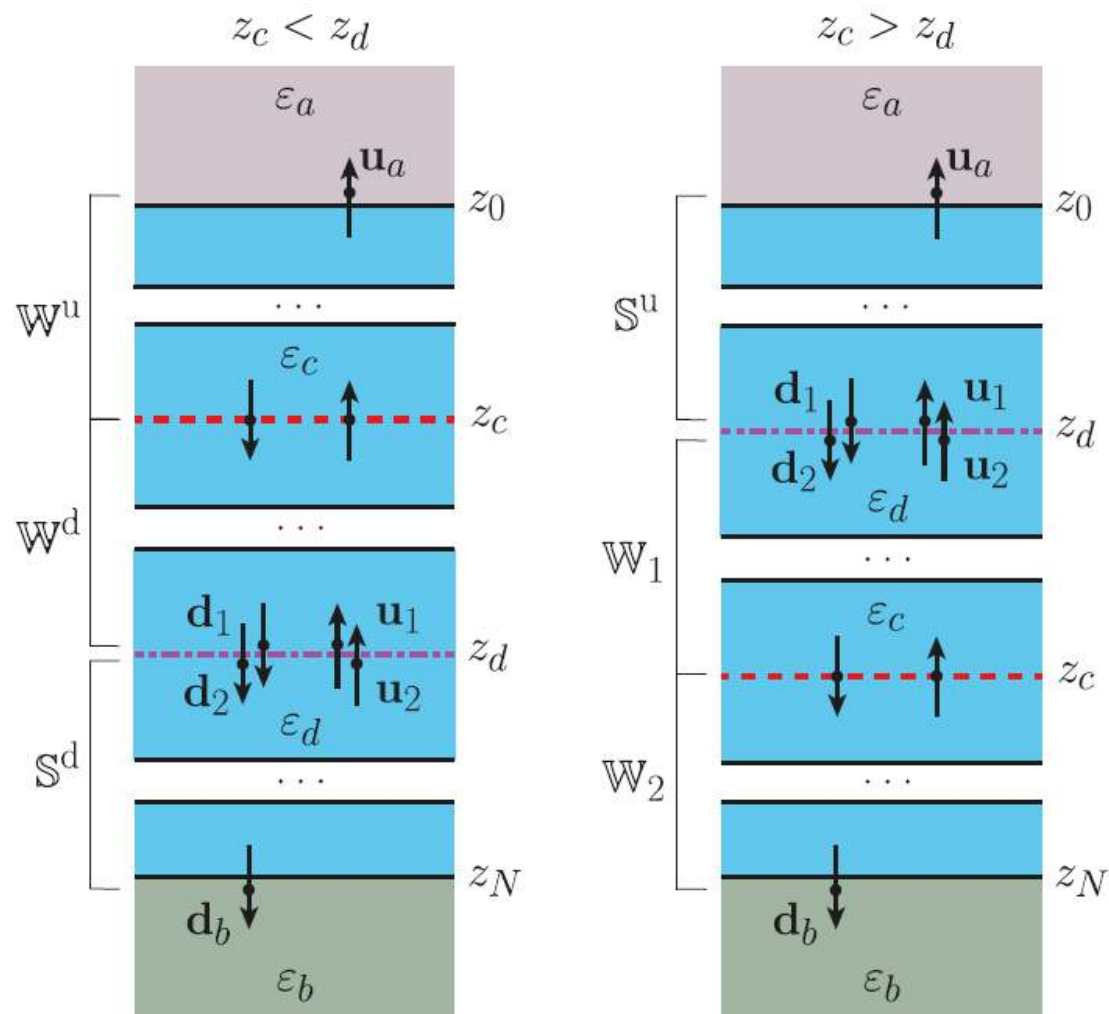
$$\begin{bmatrix} \vec{d}_2 \\ \vec{u}_2 \end{bmatrix} = \begin{bmatrix} (\mathcal{I} - \mathbb{S}_{12}^u \mathbb{S}_{21}^d)^{-1} (\vec{j}_u - \mathbb{S}_{12}^u \vec{j}_d) \\ \mathbb{S}_{21}^d (\mathcal{I} - \mathbb{S}_{12}^u \mathbb{S}_{21}^d)^{-1} (\vec{j}_u - \mathbb{S}_{12}^u \vec{j}_d) \end{bmatrix}$$

Вектора амплитуд вне структуры

$$\begin{bmatrix} \vec{d}_a \\ \vec{u}_a \end{bmatrix} = \begin{bmatrix} \vec{o} \\ \mathbb{S}_{22}^u (\mathbb{S}_{21}^d \mathbb{S}_{12}^u - \mathcal{I})^{-1} (\vec{j}_d - \mathbb{S}_{21}^d \vec{j}_u) \end{bmatrix}$$

$$\begin{bmatrix} \vec{d}_b \\ \vec{u}_b \end{bmatrix} = \begin{bmatrix} \mathbb{S}_{11}^d (\mathcal{I} - \mathbb{S}_{12}^u \mathbb{S}_{21}^d)^{-1} (\vec{j}_u - \mathbb{S}_{12}^u \vec{j}_d) \\ \vec{o} \end{bmatrix}$$

# Расчет полей осциллирующих токов



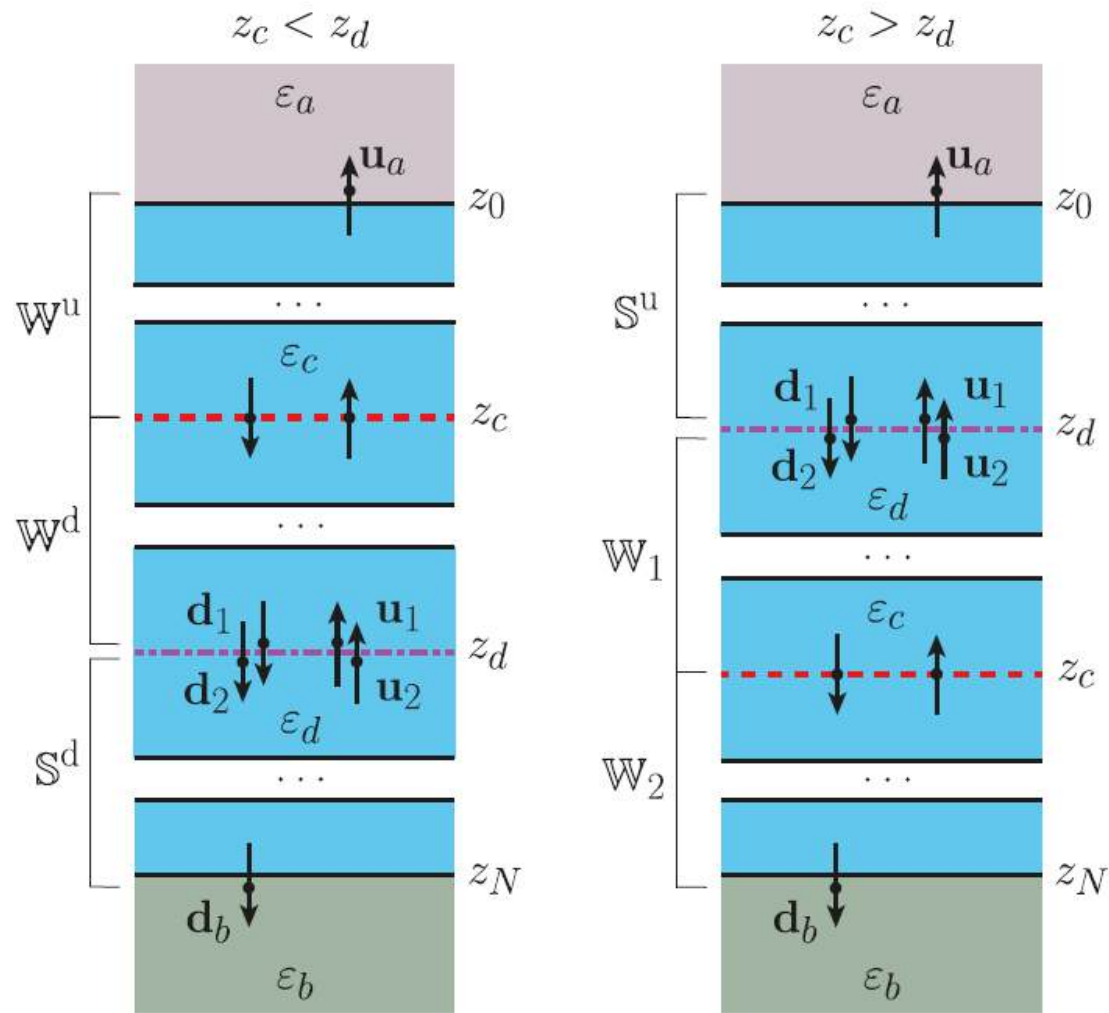
Для того, чтобы найти амплитуды излученных диполем плоских волн в произвольной координате  $z_c$ , такой что  $z_c \neq z_d$ , нужно дополнительно использовать связь между амплитудами плоских волн в этой координате с амплитудами  $\vec{d}_{1,2}$ ,  $\vec{u}_{1,2}$ ,  $\vec{d}_b$  и  $\vec{u}_a$ :

$$\begin{cases} \begin{bmatrix} \vec{d}_c \\ \vec{u}_a \end{bmatrix} = W^u \begin{bmatrix} \vec{o} \\ \vec{u}_c \end{bmatrix}, & \begin{bmatrix} \vec{d}_1 \\ \vec{u}_c \end{bmatrix} = W^b \begin{bmatrix} \vec{d}_c \\ \vec{u}_1 \end{bmatrix}, & \text{для } z_c < z_d, \\ \begin{bmatrix} \vec{d}_c \\ \vec{u}_2 \end{bmatrix} = W^u \begin{bmatrix} \vec{d}_2 \\ \vec{u}_c \end{bmatrix}, & \begin{bmatrix} \vec{d}_b \\ \vec{u}_c \end{bmatrix} = W^b \begin{bmatrix} \vec{d}_c \\ \vec{o} \end{bmatrix}, & \text{для } z_c > z_d, \end{cases} \quad (1.71)$$

где сделаны следующие обозначения:

$$\begin{cases} W^u \equiv S(z_0 - 0, z_c), & W^d \equiv S(z_c, z_d - 0), & \text{для } z_c < z_d, \\ W^u \equiv S(z_d + 0, z_c), & W^d \equiv S(z_c, z_N + 0), & \text{для } z_c > z_d. \end{cases} \quad (1.72)$$

# Расчет полей осциллирующих токов



Можно показать, что вектор амплитуд  $A(z_c) = [\vec{d}_c, \vec{u}_c]^T$  находится при помощи решения следующей переопределенной системы уравнений:

$$\left\{ \begin{array}{l} \begin{bmatrix} \mathcal{I} & -W_{12}^u \\ \mathcal{O} & +W_{22}^u \\ W_{11}^d & \mathcal{O} \\ W_{21}^d & -\mathcal{I} \end{bmatrix} \begin{bmatrix} \vec{d}_c \\ \vec{u}_c \end{bmatrix} = \begin{bmatrix} \vec{0} \\ S_{22}^u \vec{u}_1 \\ (S_{12}^u - W_{12}^d) \vec{u}_1 \\ -W_{22}^d \vec{u}_1 \end{bmatrix} & \text{для } z_c < z_d, \\ \begin{bmatrix} \mathcal{I} & -W_{12}^u \\ \mathcal{O} & +W_{22}^u \\ W_{11}^d & \mathcal{O} \\ W_{21}^d & -\mathcal{I} \end{bmatrix} \begin{bmatrix} \vec{d}_c \\ \vec{u}_c \end{bmatrix} = \begin{bmatrix} +W_{11}^u \vec{d}_2 \\ (S_{21}^d - W_{21}^u) \vec{d}_2 \\ S_{11}^d \vec{d}_2 \\ \vec{0} \end{bmatrix} & \text{для } z_c > z_d, \end{array} \right. \quad (1.73)$$

где согласно формуле (1.67)

$$\left\{ \begin{array}{l} \vec{u}_1 = (S_{21}^d S_{12}^u - \mathcal{I})^{-1} (\vec{j}_d - S_{21}^d \vec{j}_u) & \text{для } z_c < z_d \\ \vec{d}_2 = (\mathcal{I} - S_{12}^u S_{21}^d)^{-1} (\vec{j}_u - S_{12}^u \vec{j}_d) & \text{для } z_c > z_d \end{array} \right. \quad (1.74)$$

# Расчет фактора Парселла в ФК периодическом слое

Определение фактора Парселла  $F_p = \frac{\Gamma_{\text{rad}}^{\text{cav}}}{\Gamma_{\text{rad}}^{\text{o}}}$

Скорость рекомбинации спонтанной эмиссии в диэлектрическом окружении:

$$\Gamma = \Gamma_{\text{rad}}^{\text{cav}} + \Gamma_{\text{nr}} = F_p \Gamma_{\text{rad}}^{\text{o}} + \Gamma_{\text{nr}}$$

скорость излучательной рекомбинации      скорость безызлучательной рекомбинации

Практическое вычисление фактора Парселла:

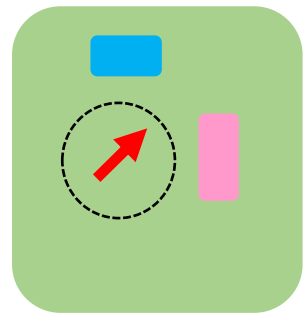
$$F_p(\omega) = \frac{P^{\text{cav}}(\omega)}{P(\omega)}$$

диполь в однородной среде

$$P(\omega) = \frac{|\vec{j}_0|^2 \omega^2 n}{3c^3}$$

диполь в произвольном окружении

$$P^{\text{cav}}(\omega) = \iint \vec{S}(\omega) d\vec{A}$$

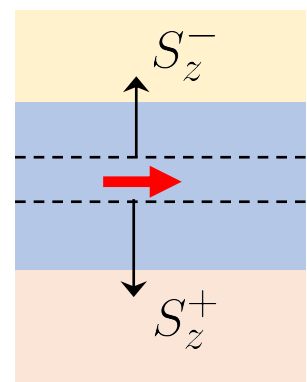


диполь в многослойной среде

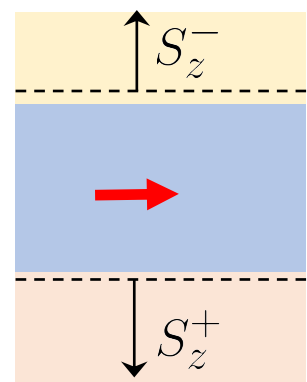
$$P^{\pm}(\omega, z) \equiv \iint_{-\infty}^{+\infty} S_z^{\pm}(\omega, \vec{\rho}, z) d^2 \vec{\rho}$$

$$P^{\pm}(\omega, z) \equiv \iint_{\text{FBZ}} S_z^{\pm}(\omega, \vec{q}, z) \frac{d^2 \vec{q}}{(2\pi)^2}$$

полный фактор Парселла



внешний фактор Парселла



$$F_p(\omega) = \frac{3c^3}{|\vec{j}_0|^2 \omega^2 n} \iint_{\text{FBZ}} \left[ S_z^+(\omega, \vec{q}) + S_z^-(\omega, \vec{q}) \right] \frac{d^2 \vec{q}}{(2\pi)^2}$$

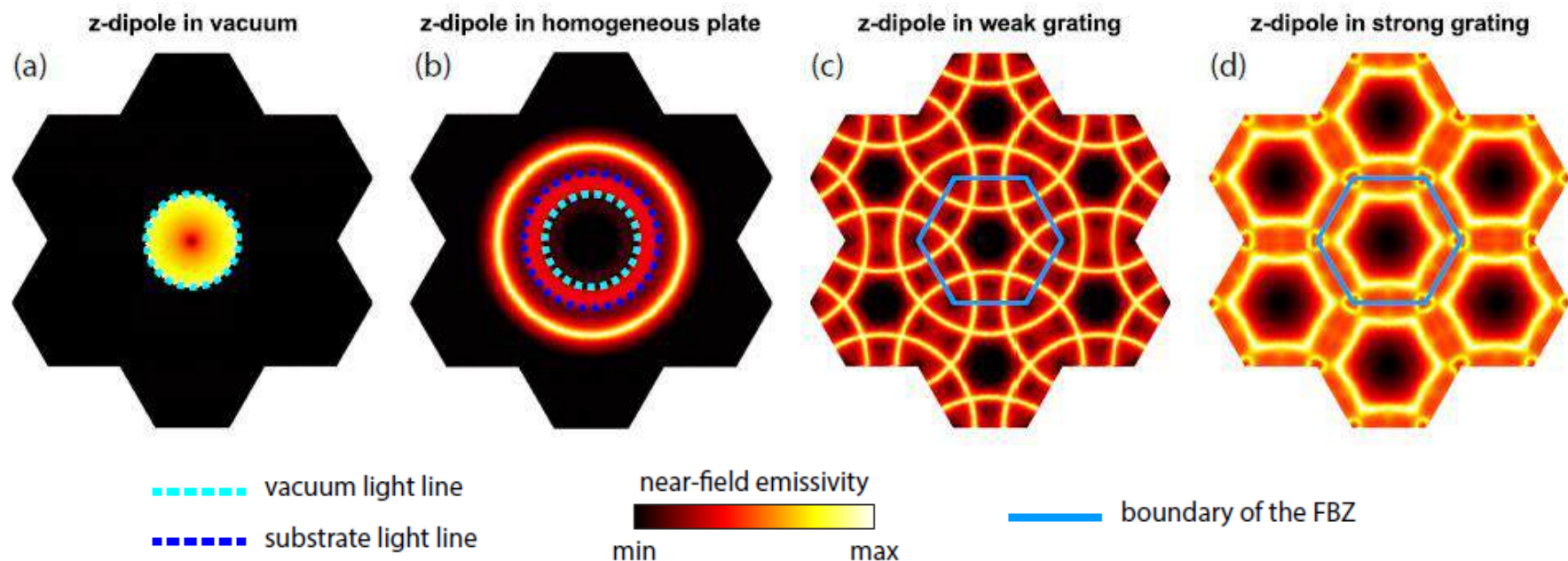
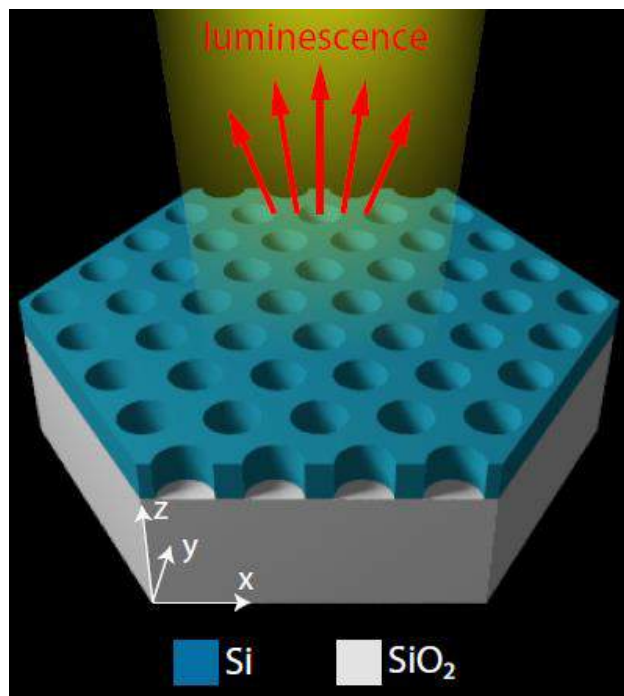
# Расчет фактора Парселла

Фактор Парселла в  
однородном слое

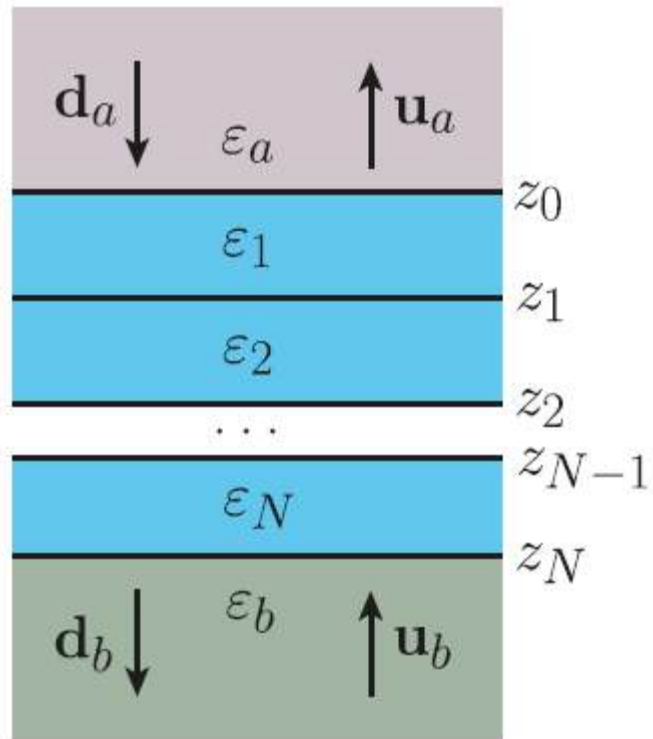
$$F_p(\omega) = \frac{3c^3}{|j_0|^2 \omega^2 n} \iint_{-\infty}^{\infty} \left[ S_z^+(\omega, k_x, k_y) + S_z^-(\omega, k_x, k_y) \right] dk_x dk_y$$

Фактор Парселла в  
периодическом слое

$$F_p(\omega) = \frac{3c^3}{|j_0|^2 \omega^2 n} \iint_{\text{FBZ}} \left[ S_z^+(\omega, k_x, k_y) + S_z^-(\omega, k_x, k_y) \right] dk_x dk_y,$$



# Расчет резонансов послойно-периодической структуры



$$\mathbb{S}^{-1}(\omega) = \mathbb{S}^{-1}(\omega_n) + \left. \frac{d\mathbb{S}(\omega)}{d\omega} \right|_{\omega=\omega_n} (\omega - \omega_n). \quad (1.78)$$

Находя нули линейной относительно  $\omega$  правой части этого выражения, можно получить значение  $\omega_{n+1}$  для следующего шага итерации. Для этого необходимо рассмотреть правую часть как обобщенную задачу на собственные значения, в которой  $(\omega - \omega_n)$  будет играть роль собственного значения:

$$\mathbb{S}^{-1}(\omega_n)B_{\text{out}} = - \left. \frac{d\mathbb{S}(\omega)}{d\omega} \right|_{\omega=\omega_n} (\omega - \omega_n)B_{\text{out}} \quad (1.79)$$

$$B_{\text{out}} = \mathbb{S}(\omega, k_x, k_y)B_{\text{in}}$$

$$\mathbb{S}^{-1}(\omega, k_x, k_y)B_{\text{out}} = 0$$

# Часть 2

## Излучение Ge nanoостровков из кремниевого фотонно-кристаллического волновода



Sergei  
Tikhodeev



Nikolay  
Gippius



Andrey  
Bogdanov



Margarita  
Stepikhova

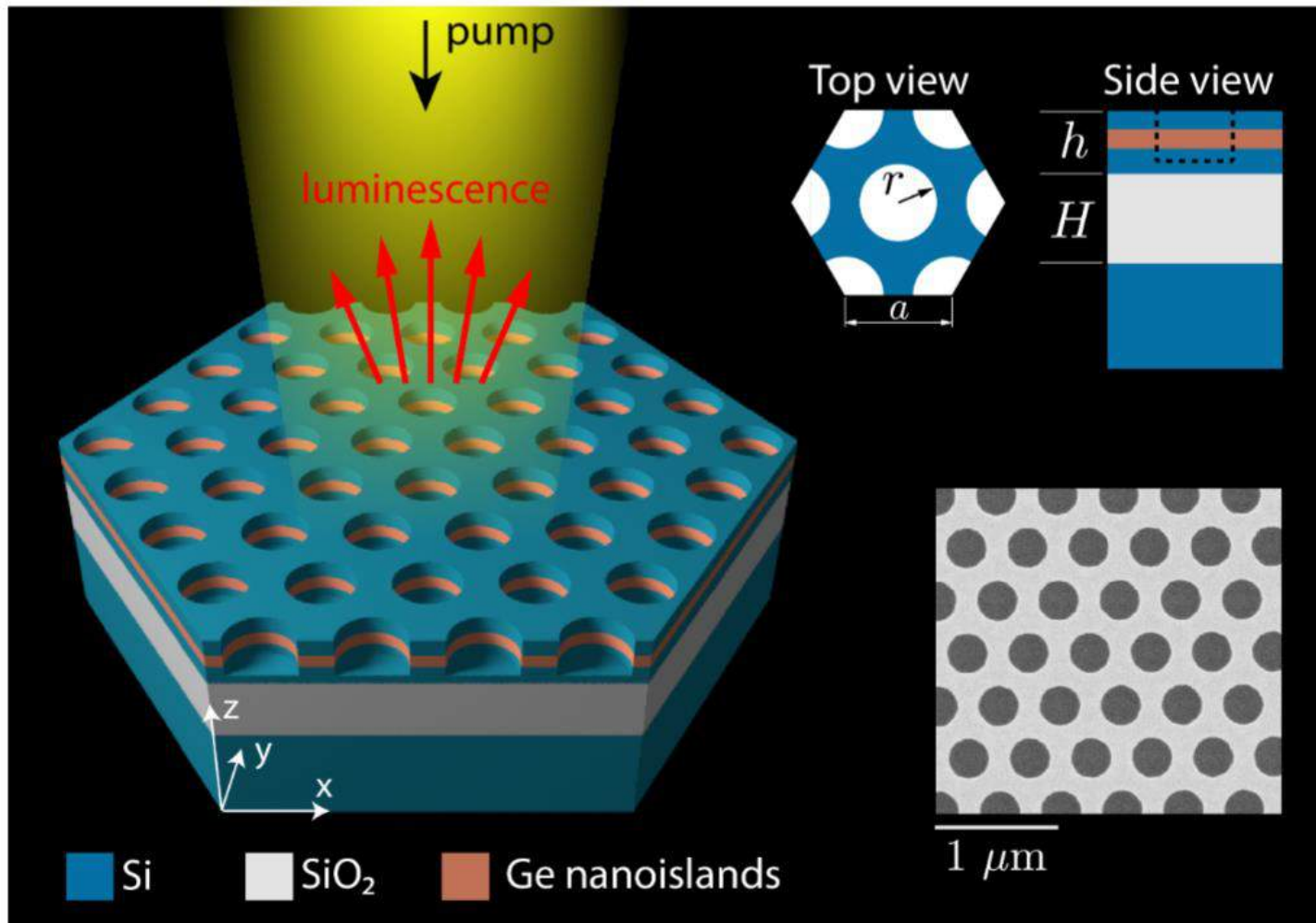


Dmitry  
Yurasov



Alexey  
Novikov

Skoltech  
IPM RAS, Nizhniy Novgorod  
ITMO, St. Petersburg



В структурах с Ge nanoостровками наблюдается фотолюминесценция при комнатной температуре на длинах волн 1.3–1.6 мкм (0.75–0.95 мкм).

Важным преимуществом Ge nanoостровков является то, что они могут быть точно расположены в горячих точках квазиволноводных мод в фотонных структурах.

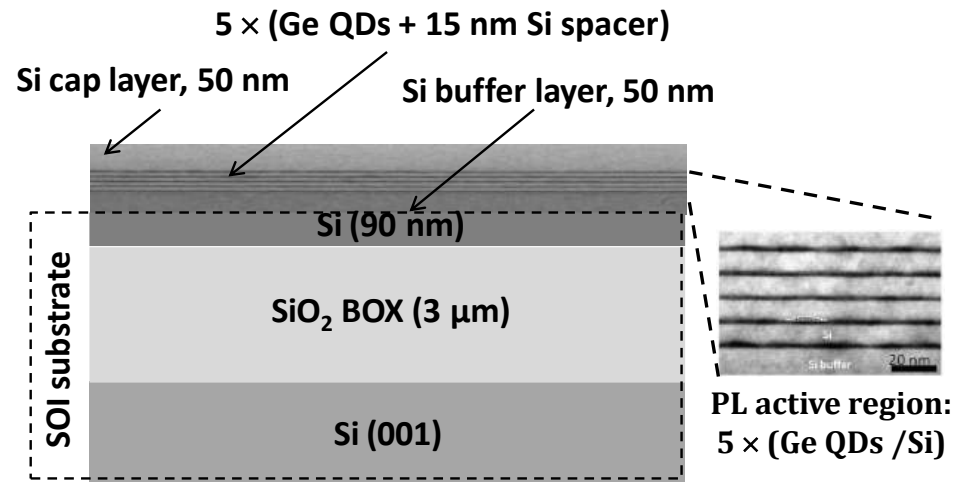
Периодические фотонные структуры без полостей могут поддерживать состояния с высокой добротностью с профилем моды, однородно распределенным по всей фотонной структуре.

# Изготовление ФК слоев с германиевыми наноструктурами

Многослойная структура, содержащая 5 периодов слоев наноструктур Ge(Si), с промежуточными слоями Si:

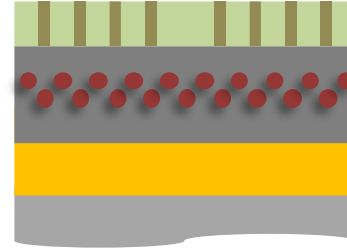
- Si слой  $d=50$  нм
- 5 x (Si,  $d=15$  нм / Ge,  $d=8$  нм)
- Si буферный слой,  $d=50$  нм

Эпитаксиальный рост проводился на утоньшенной подложке SOI (приборный слой подложки утоньшался до 90 нм). Суммарная толщина волноводного слоя  $\sim 250$  нм.

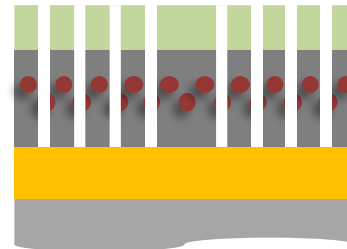


Толщина волноводного слоя  $\sim 250$  нм

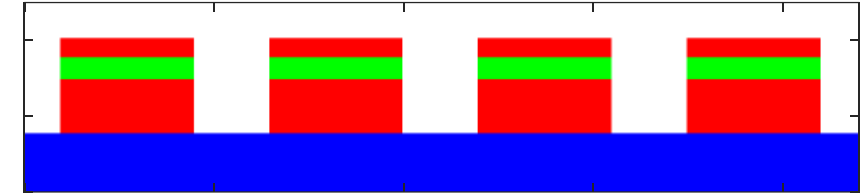
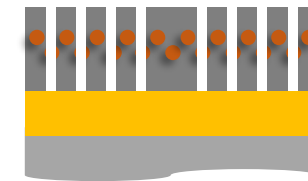
e-beam lithography



ICP/RF plasma etching in SF<sub>6</sub>/C<sub>4</sub>F<sub>8</sub>



Resist removal

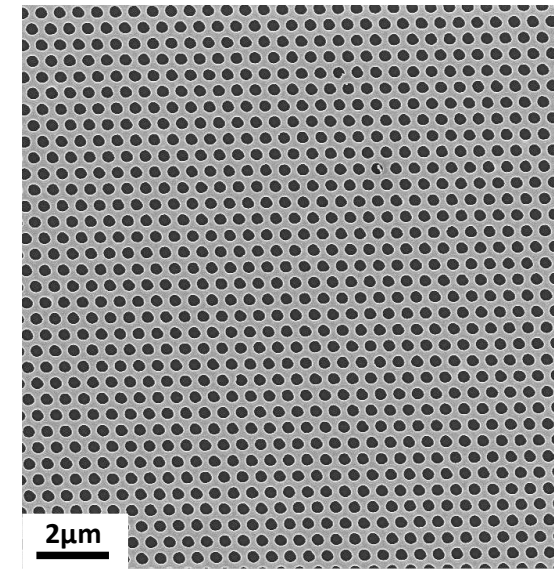


air

SiO<sub>2</sub>

Si

SiGe



# Экспериментальная установка

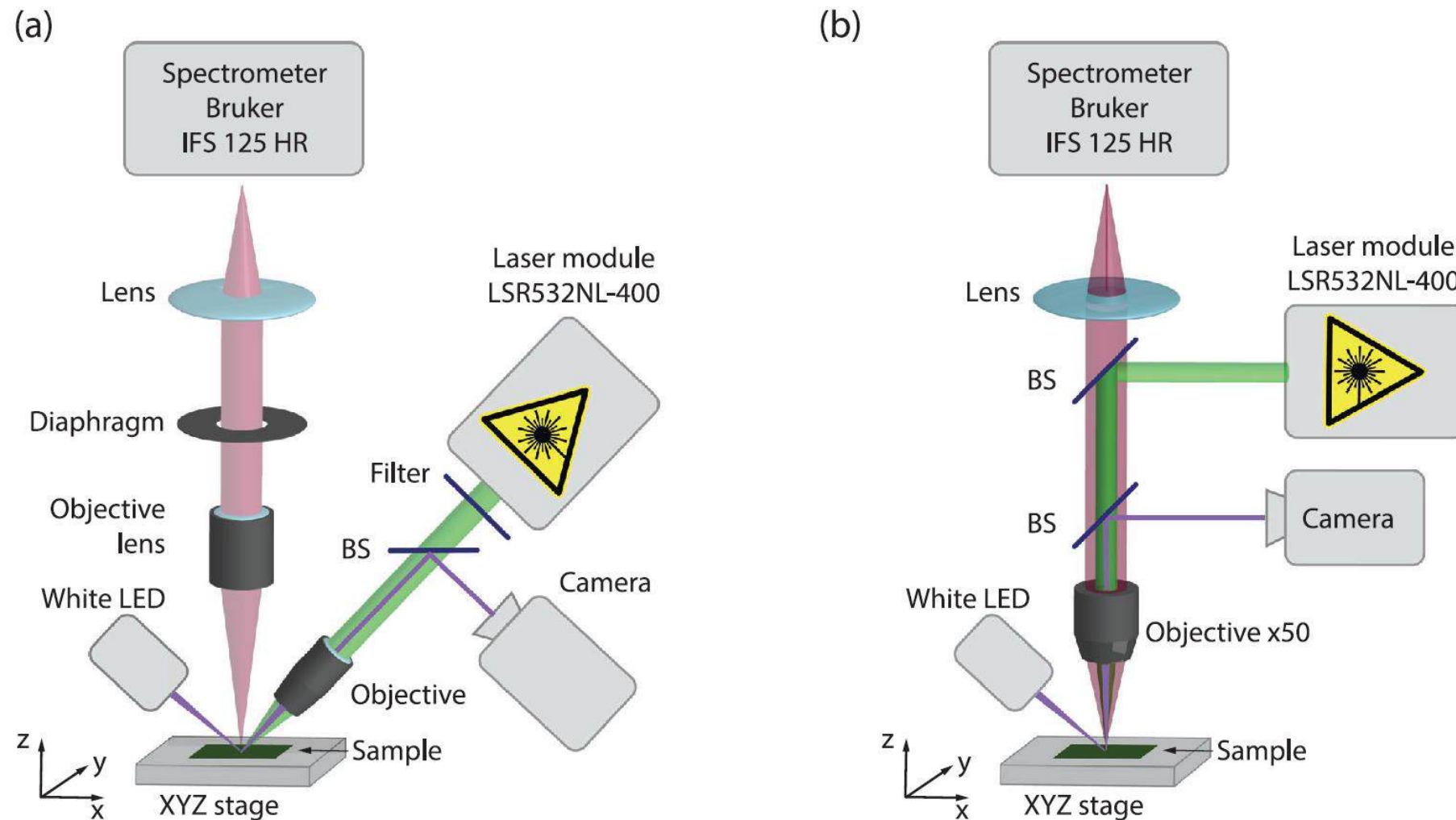
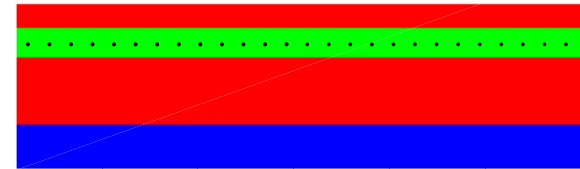
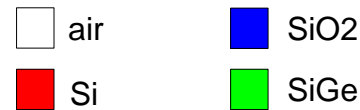
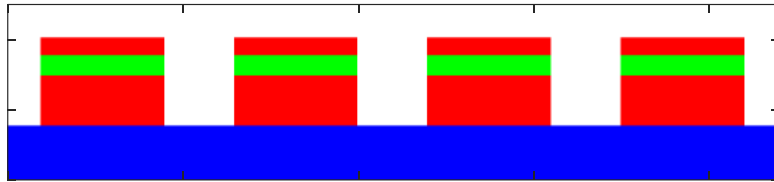
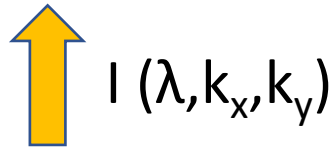


Figure 8. Schematics of a) the directional photoluminescence (DPL) setup and b) the microphotoluminescence ( $\mu$ PL) setup.

# Метод расчета



неструктурированный образец

- Fourier modal method (RCWA)

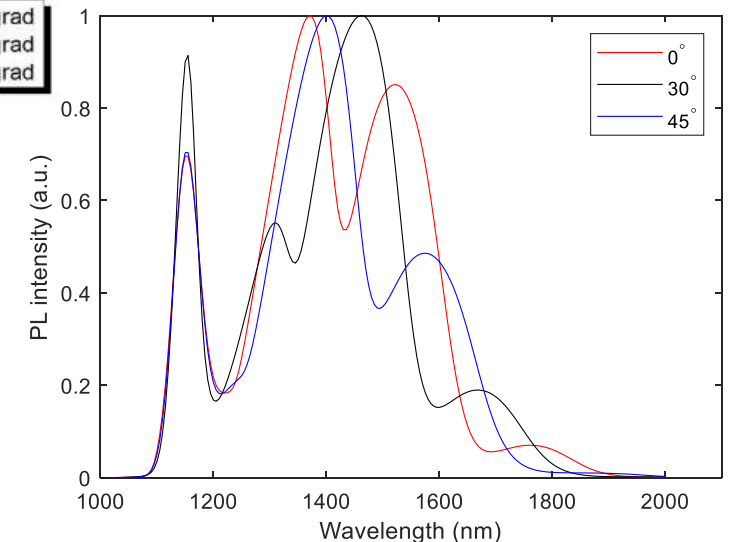
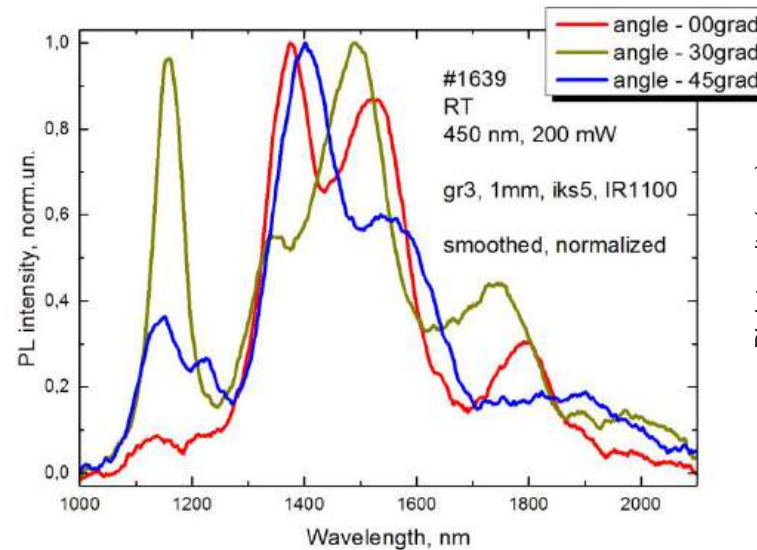
$$|\mathbf{O}\rangle = \mathbb{S}(\lambda, k_x, k_y) |\mathbf{I}\rangle$$

- Emissivity is calculated by the method of oscillating dipoles.

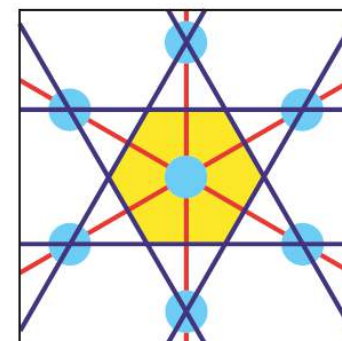
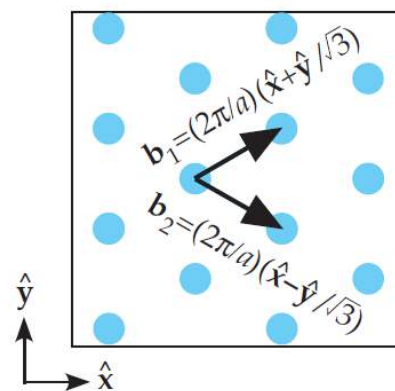
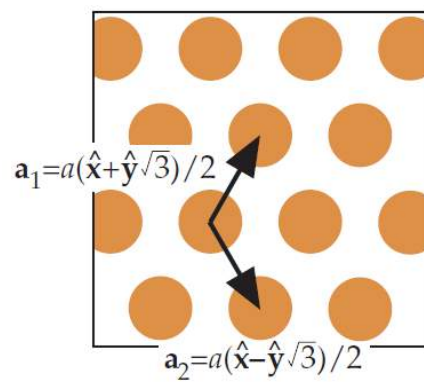
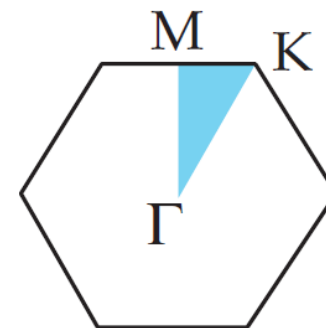
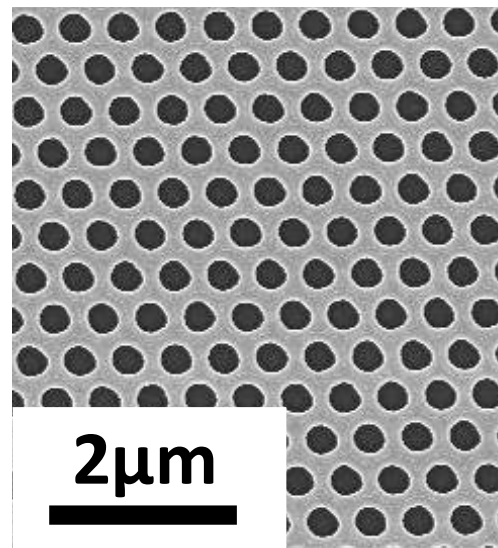
- Eigenmodes are calculated by finding the poles of scattering

$$\mathbb{S}^{-1}(\lambda, k_x, k_y) |\mathbf{O}\rangle_{res} = |0\rangle$$

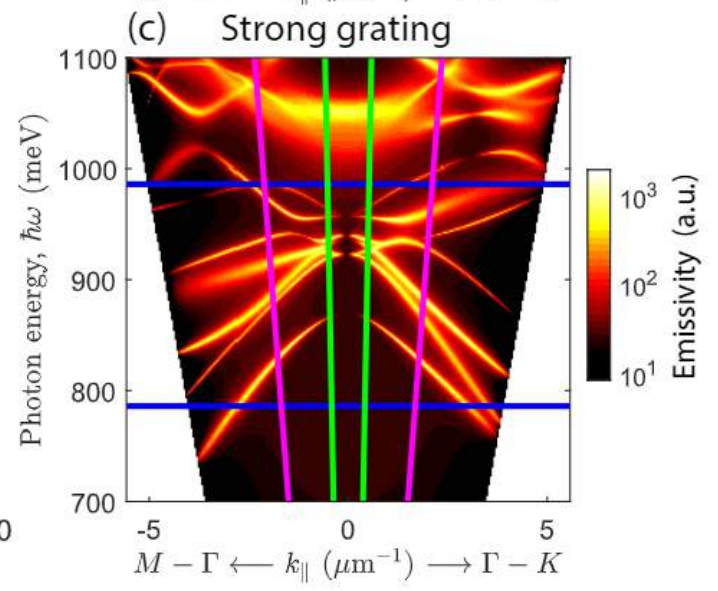
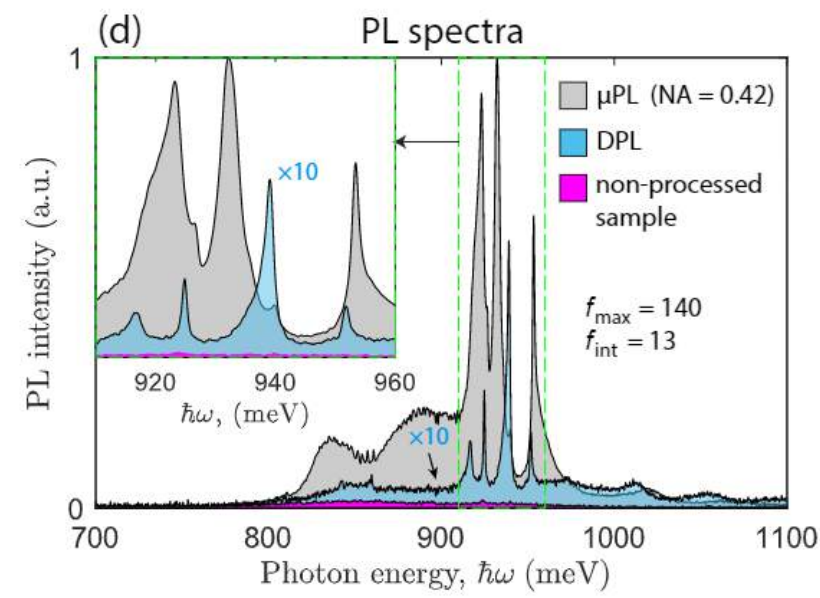
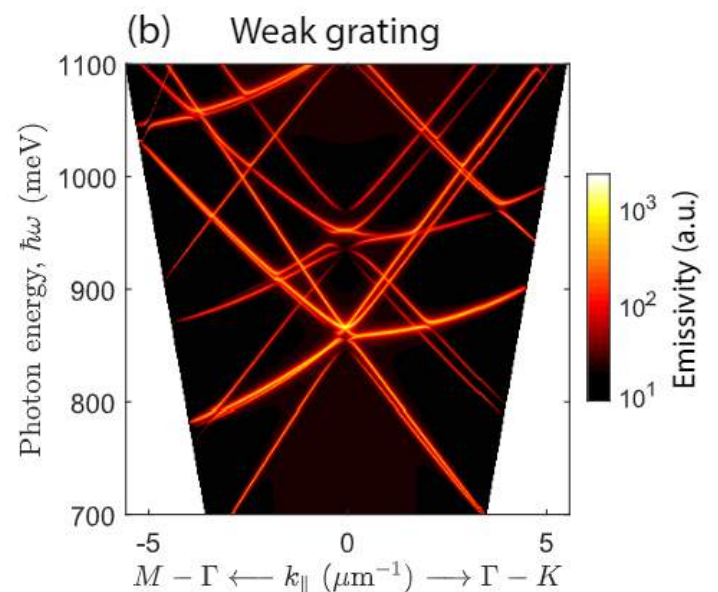
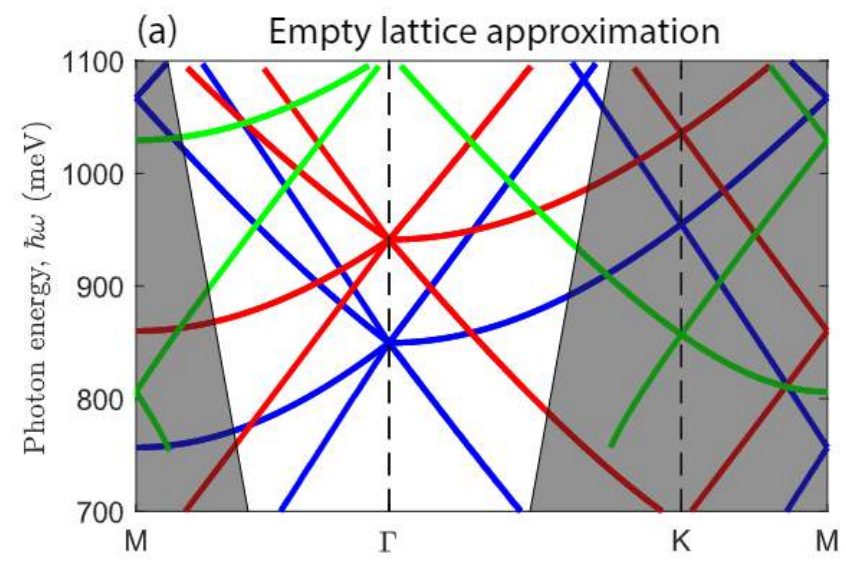
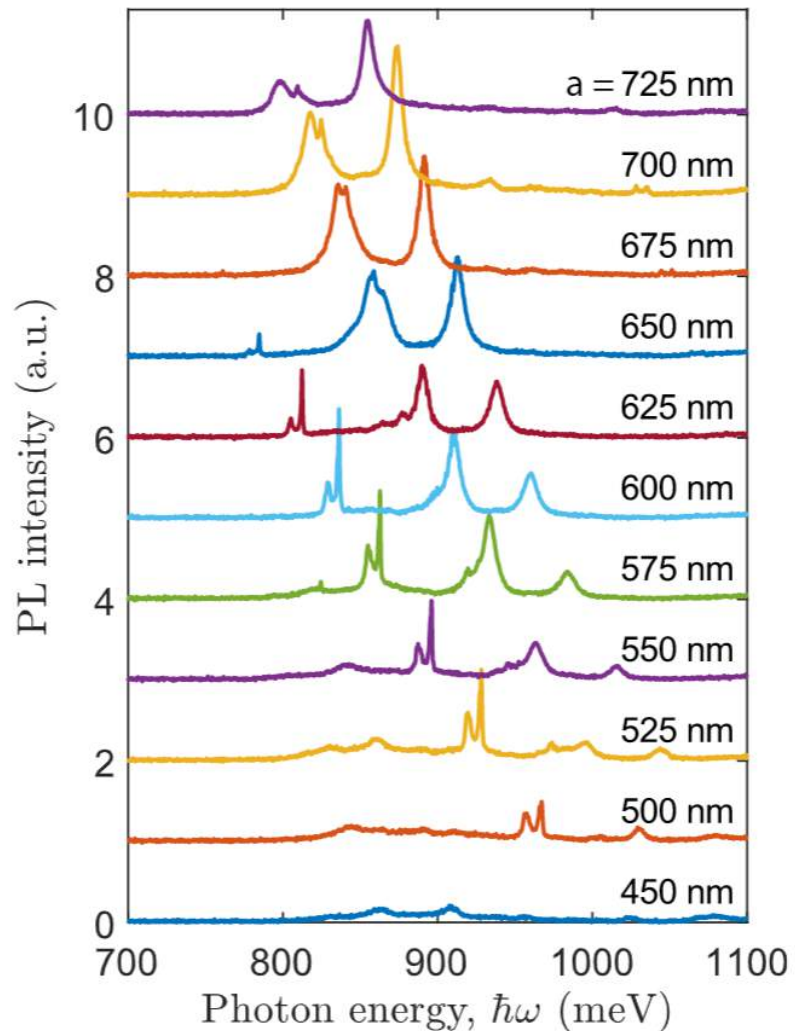
$$E_{res} = \Omega - i\Gamma$$



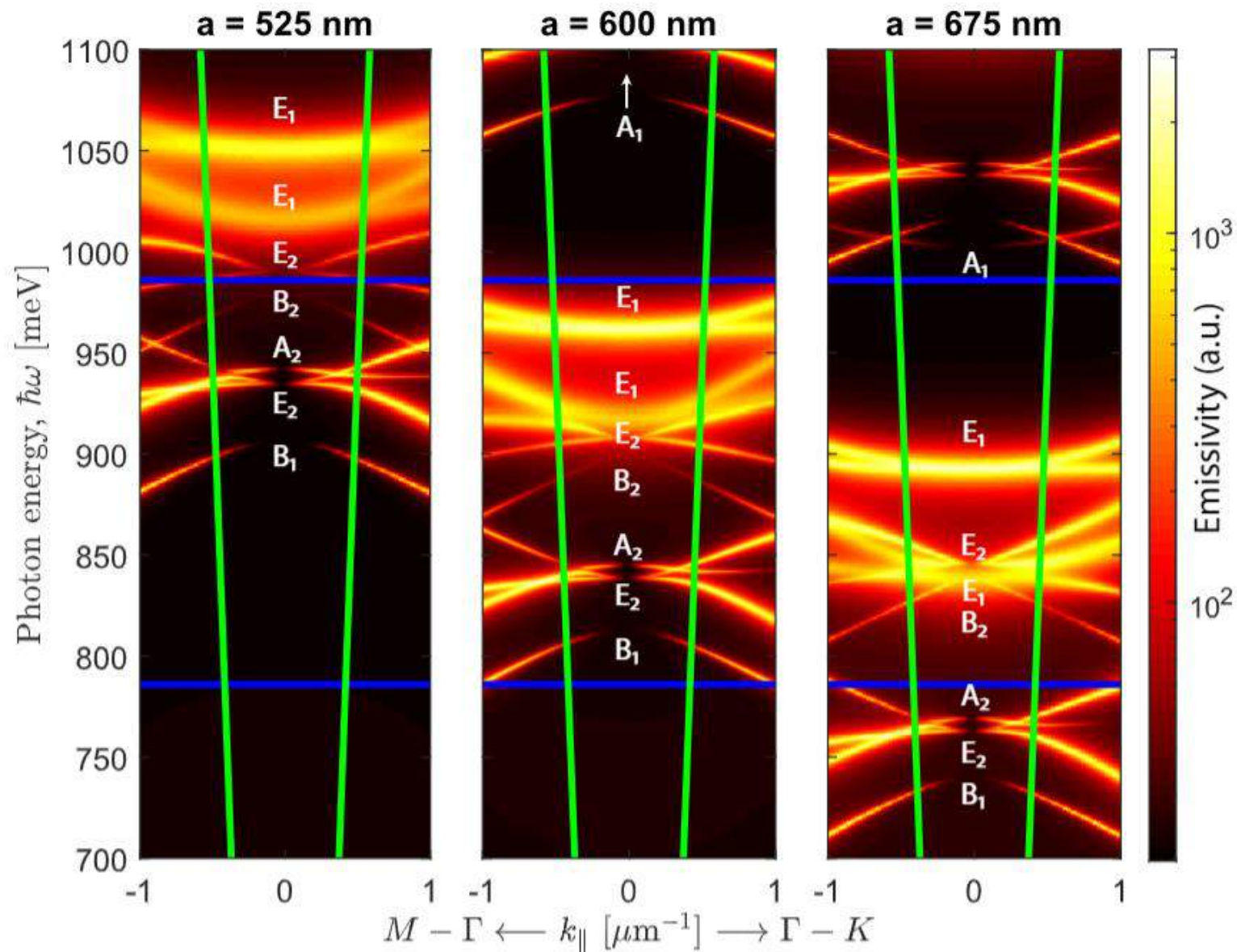
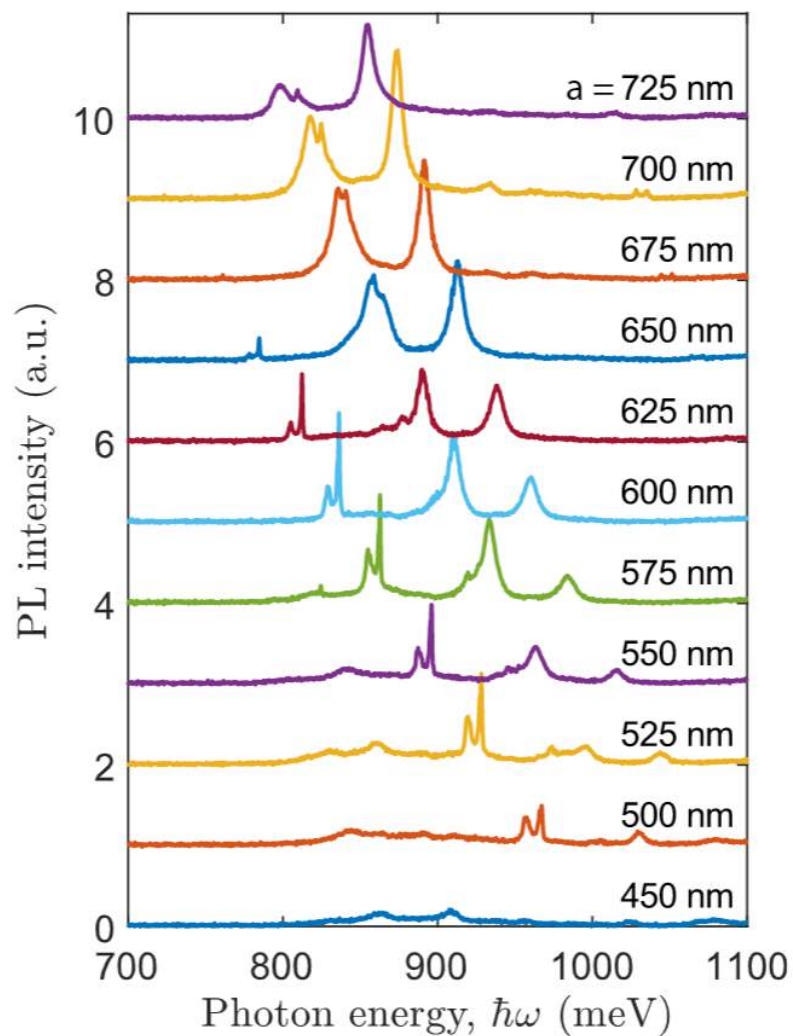
# Треугольная решетка и первая зона Бриллюэна



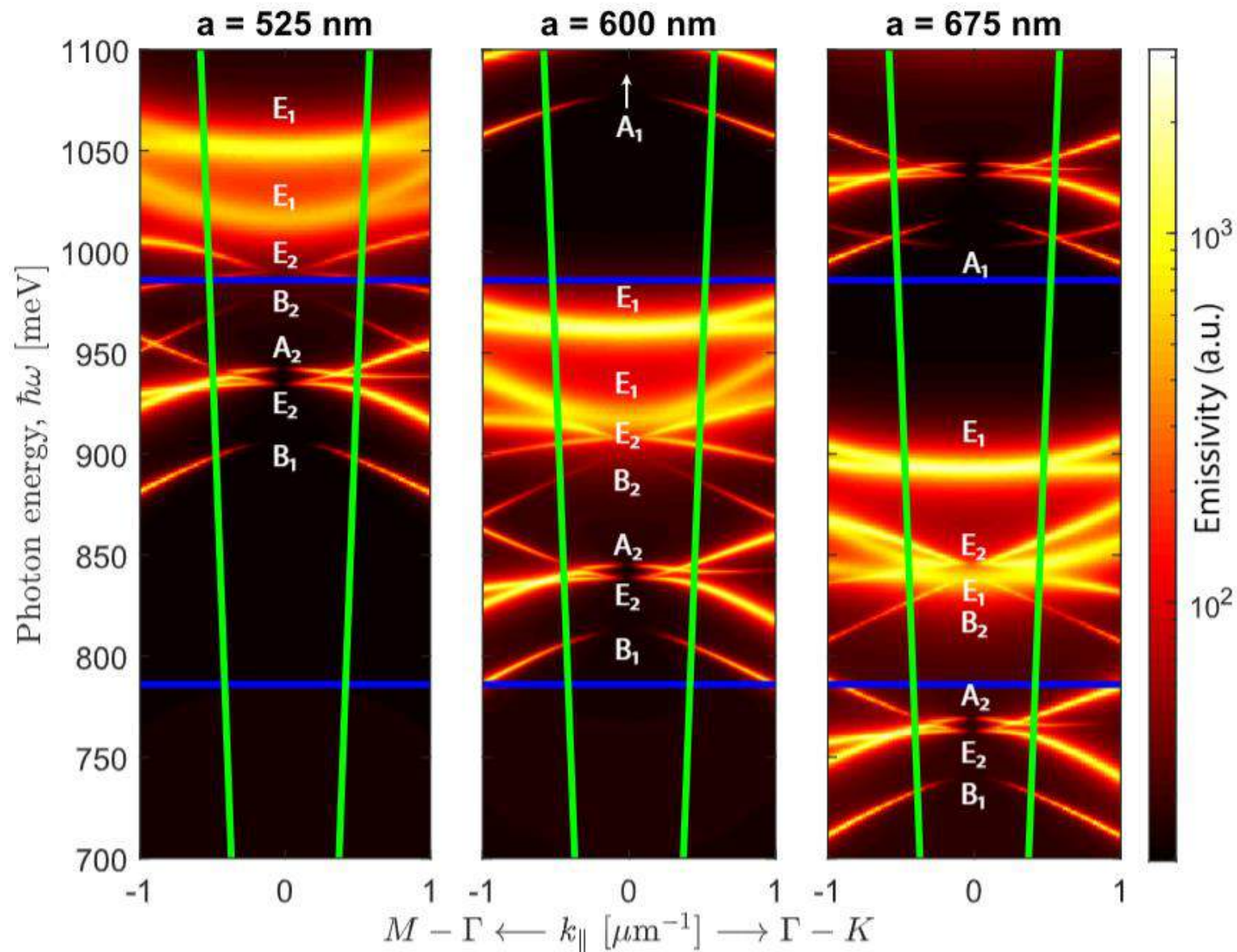
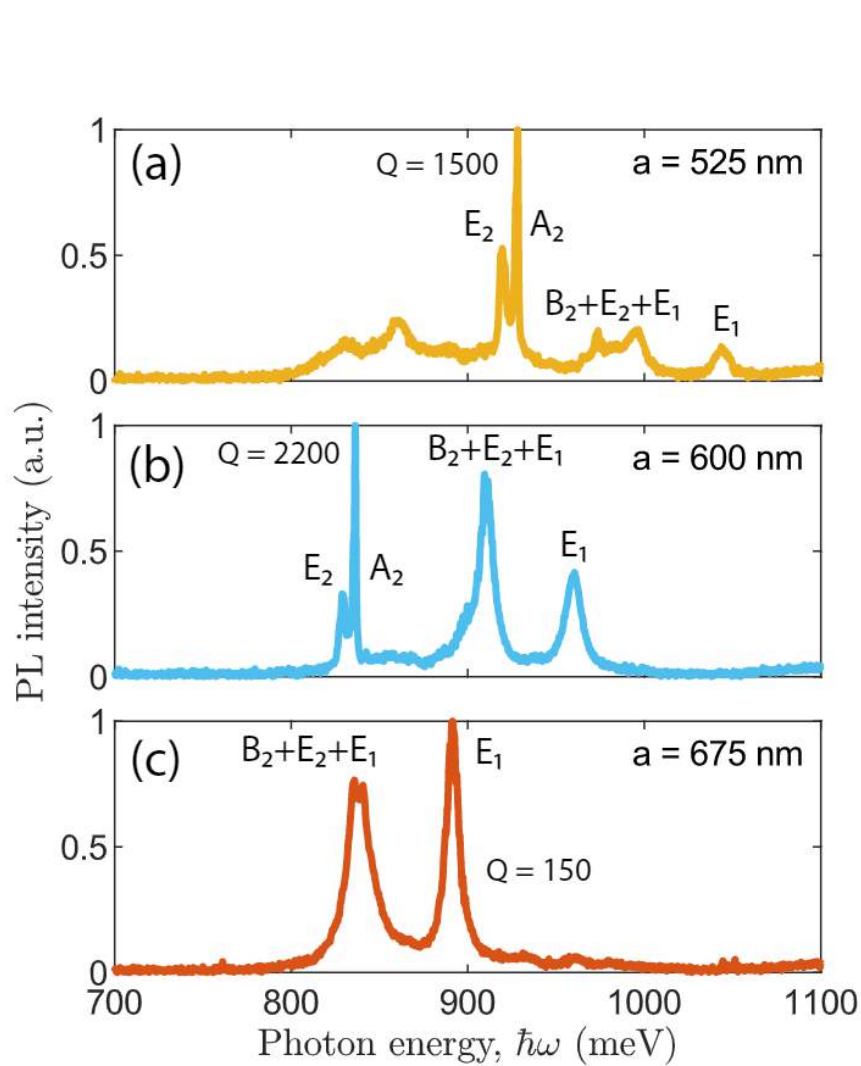
# Квазиволноводные моды в ФК слоях и спектры излучения



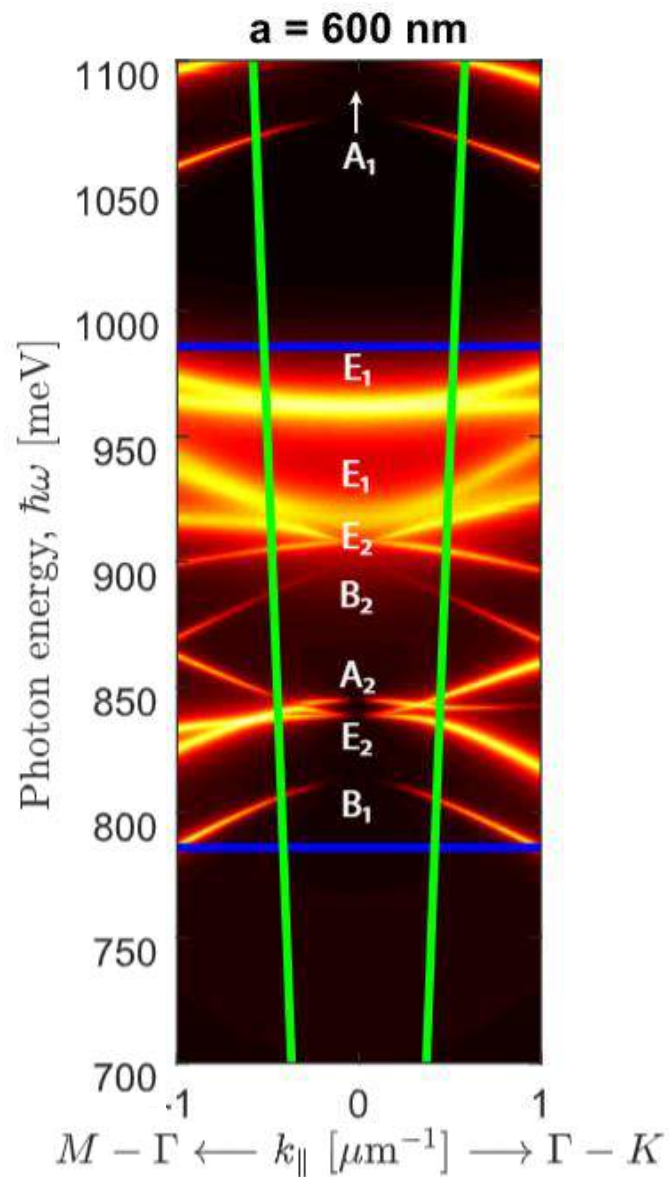
# Резонансы вблизи $\Gamma$ -точки



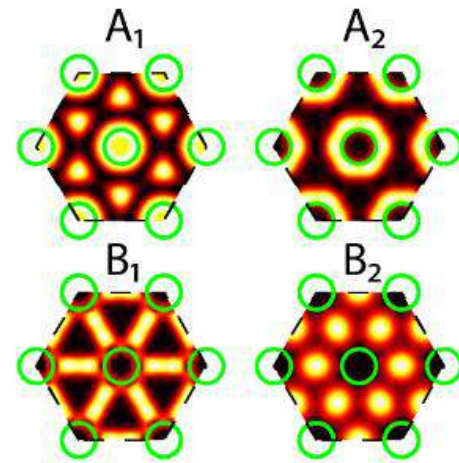
# Резонансы вблизи $\Gamma$ -точки



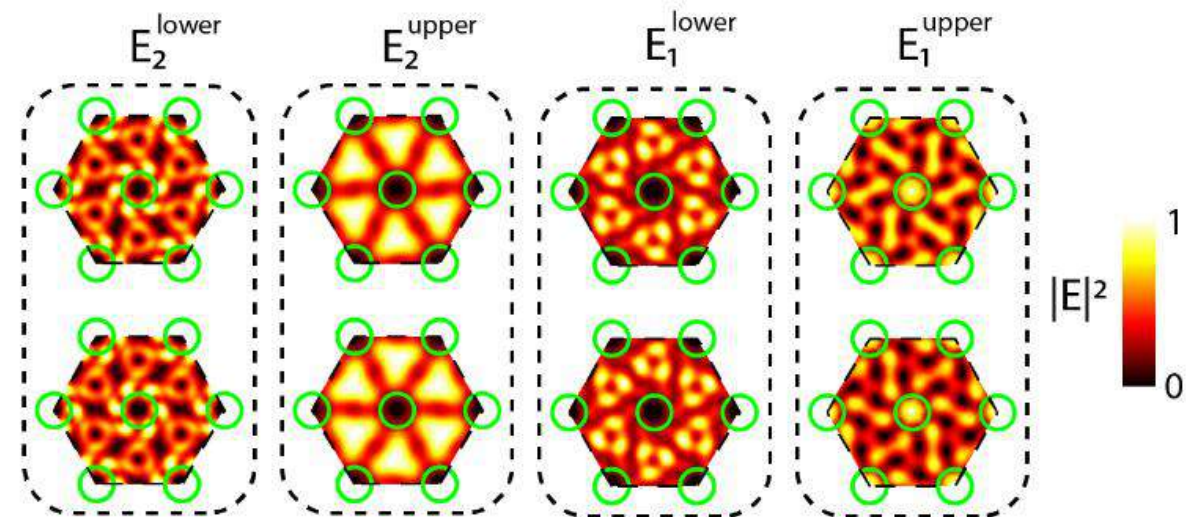
# Симметрия квазиволноводных мод



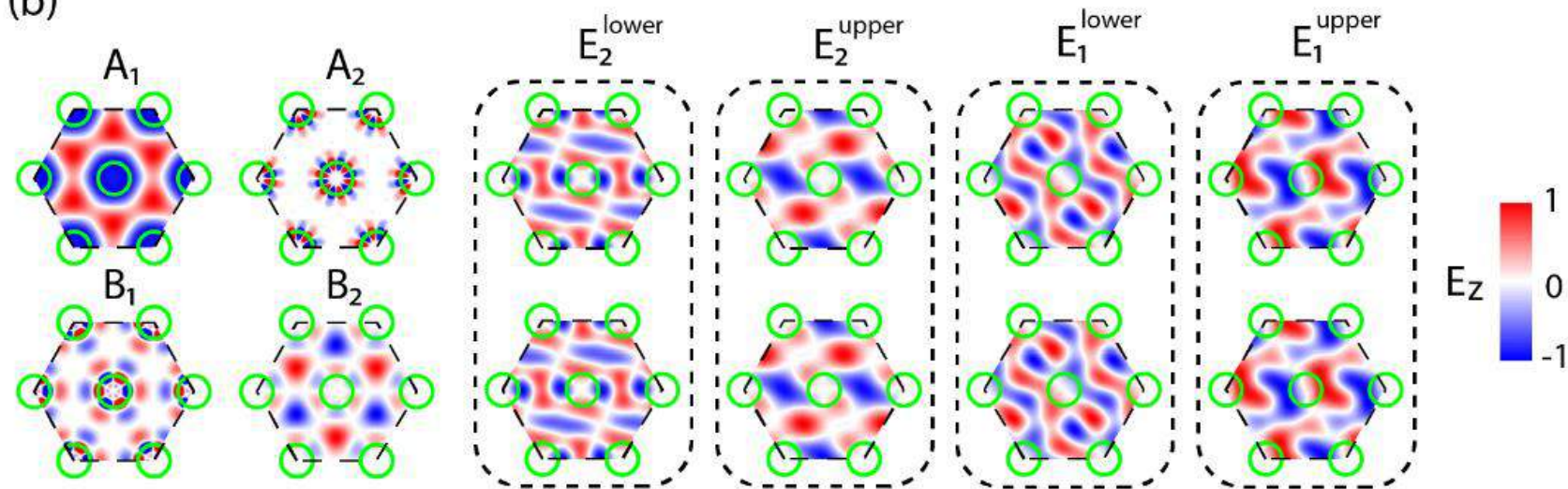
(a) Singlets



Doublets



(b)



# Построение распределения поля в

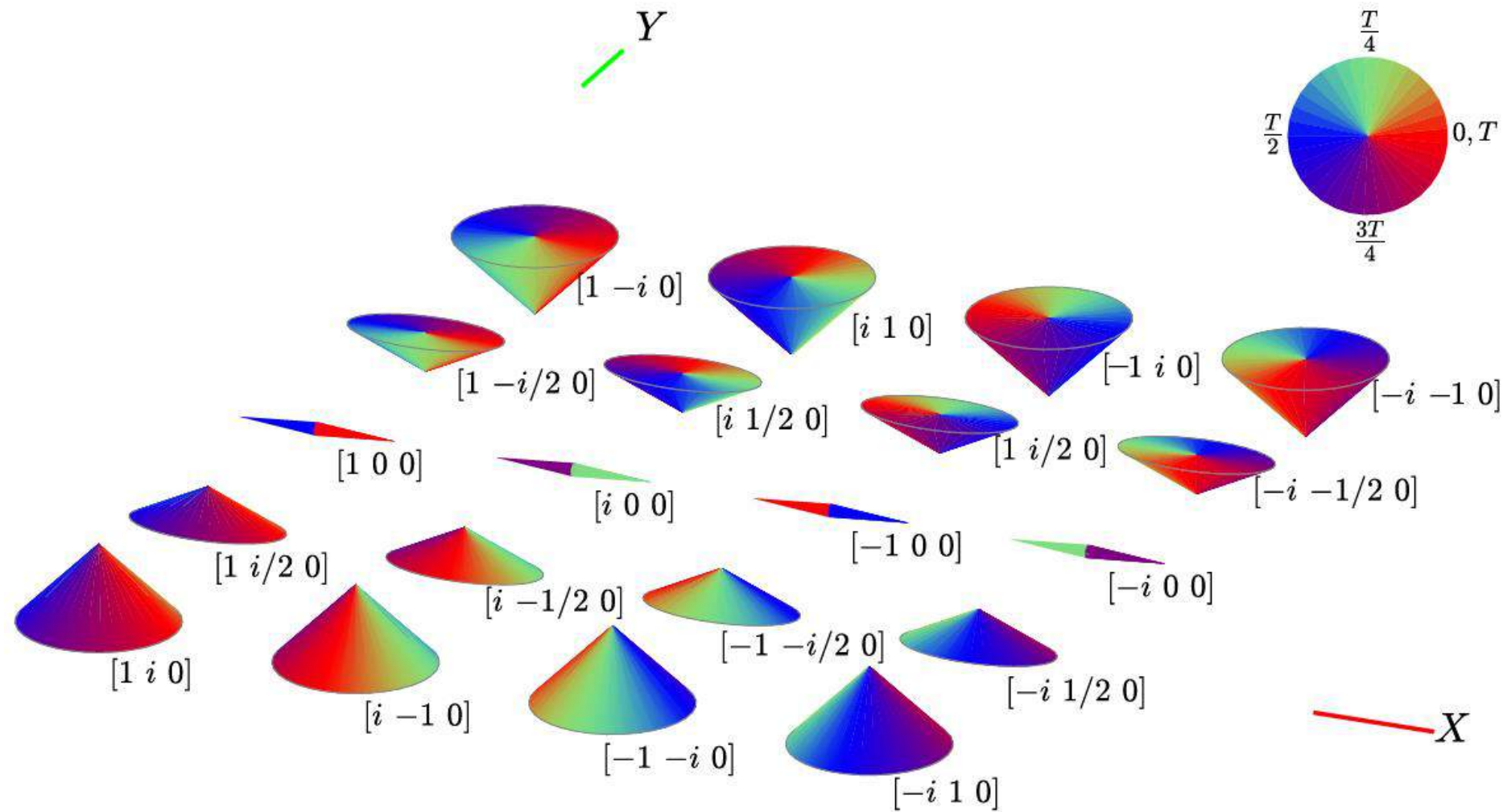
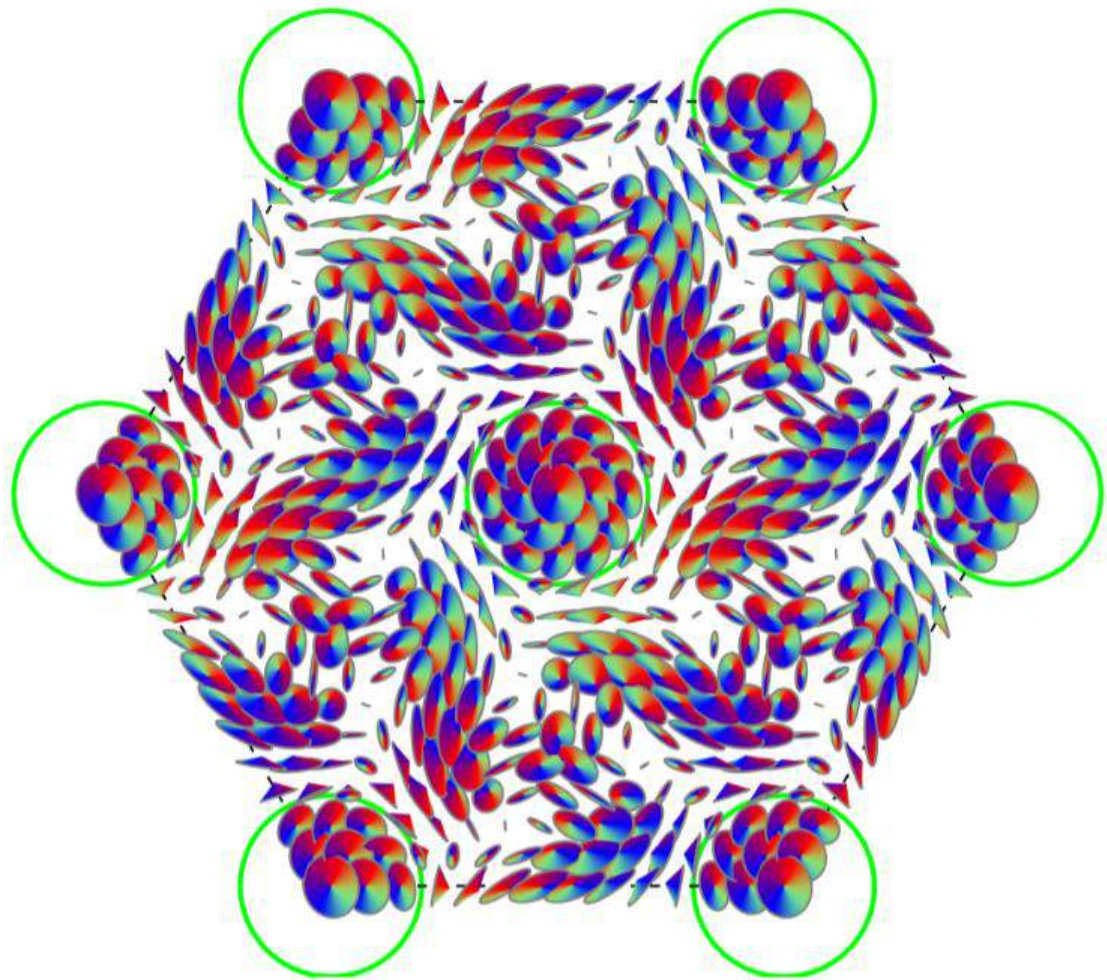


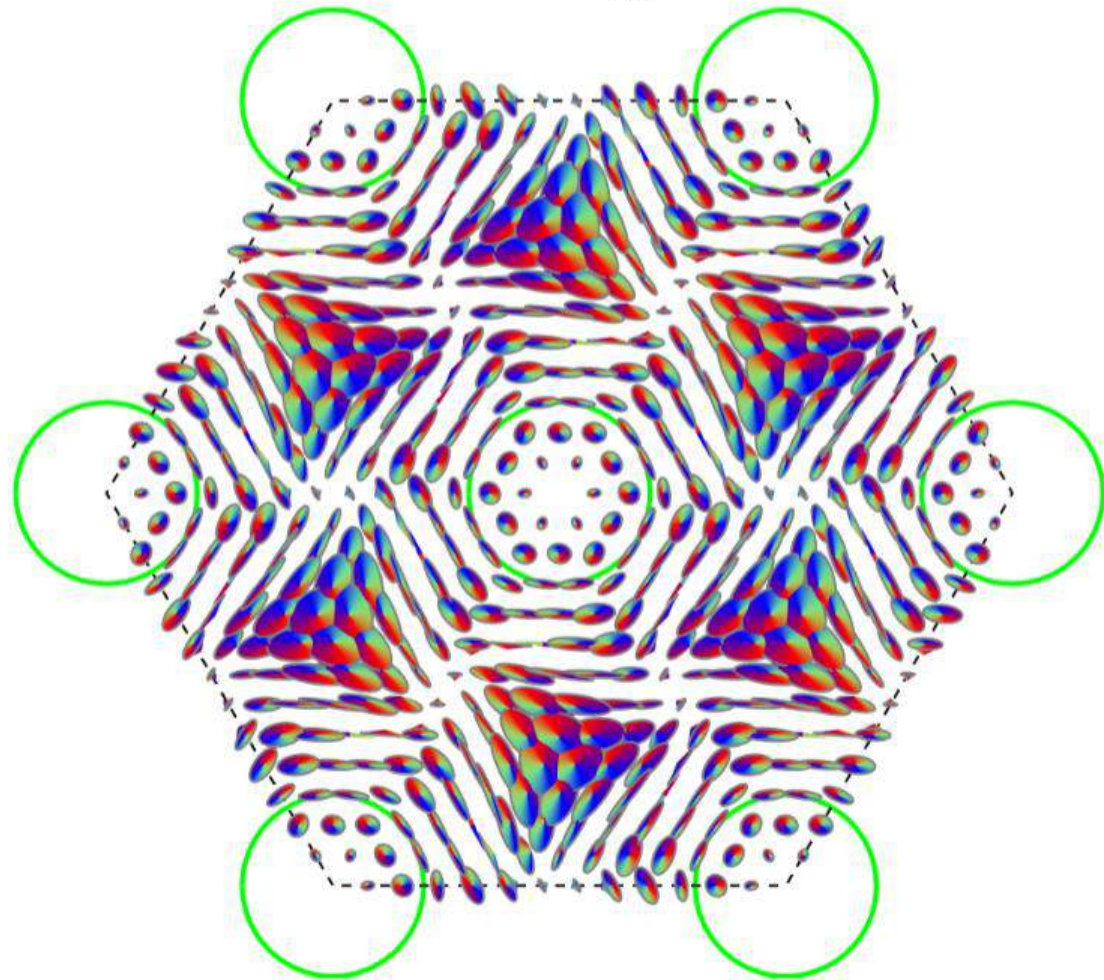
Figure 1: (Color online) Phase representation of the fields set by different amplitude vectors  $\vec{F}$ .

# Распределение поля в модах

Верхний дублет  $E_1 - E_{\text{res}} = 960.3-2.77$  мэВ

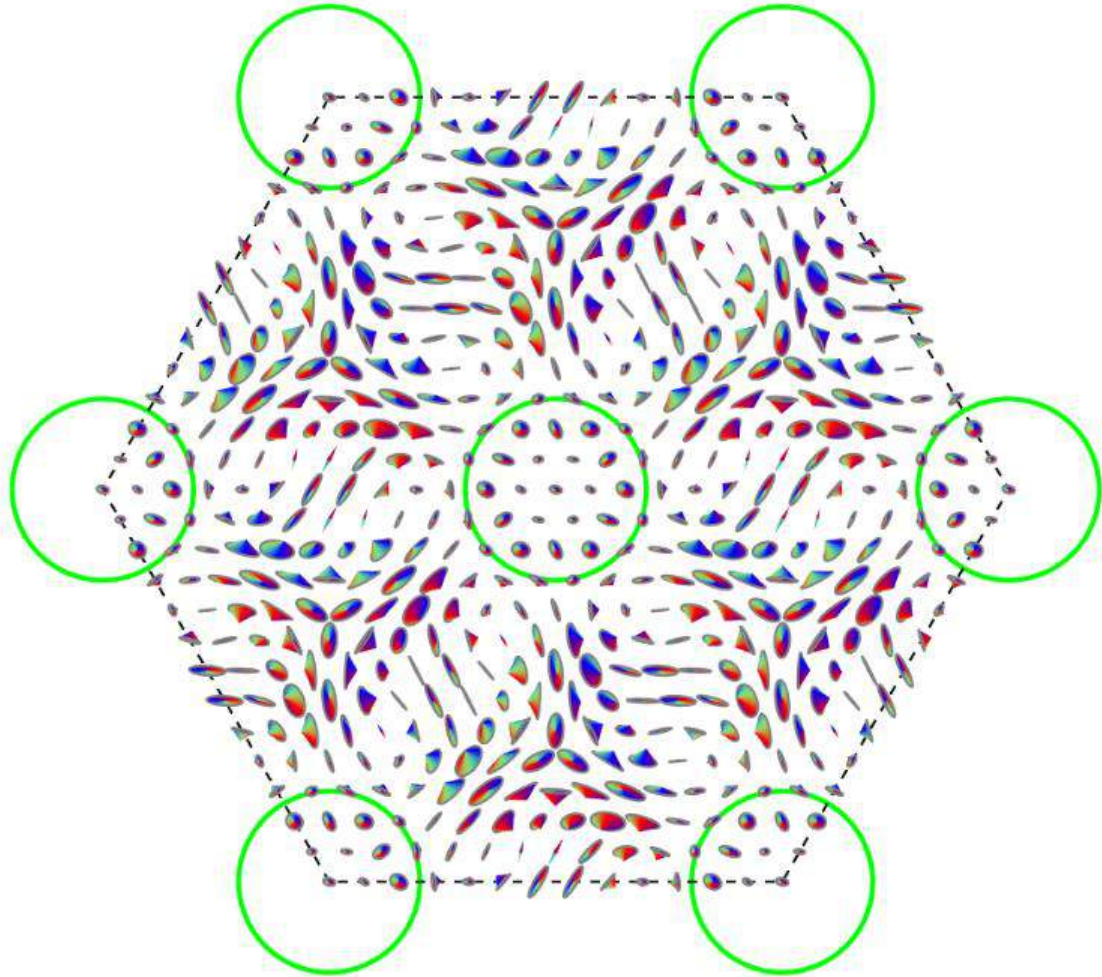


Верхний дублет  $E_2 - E_{\text{res}} = 906.9-0.60$  мэВ

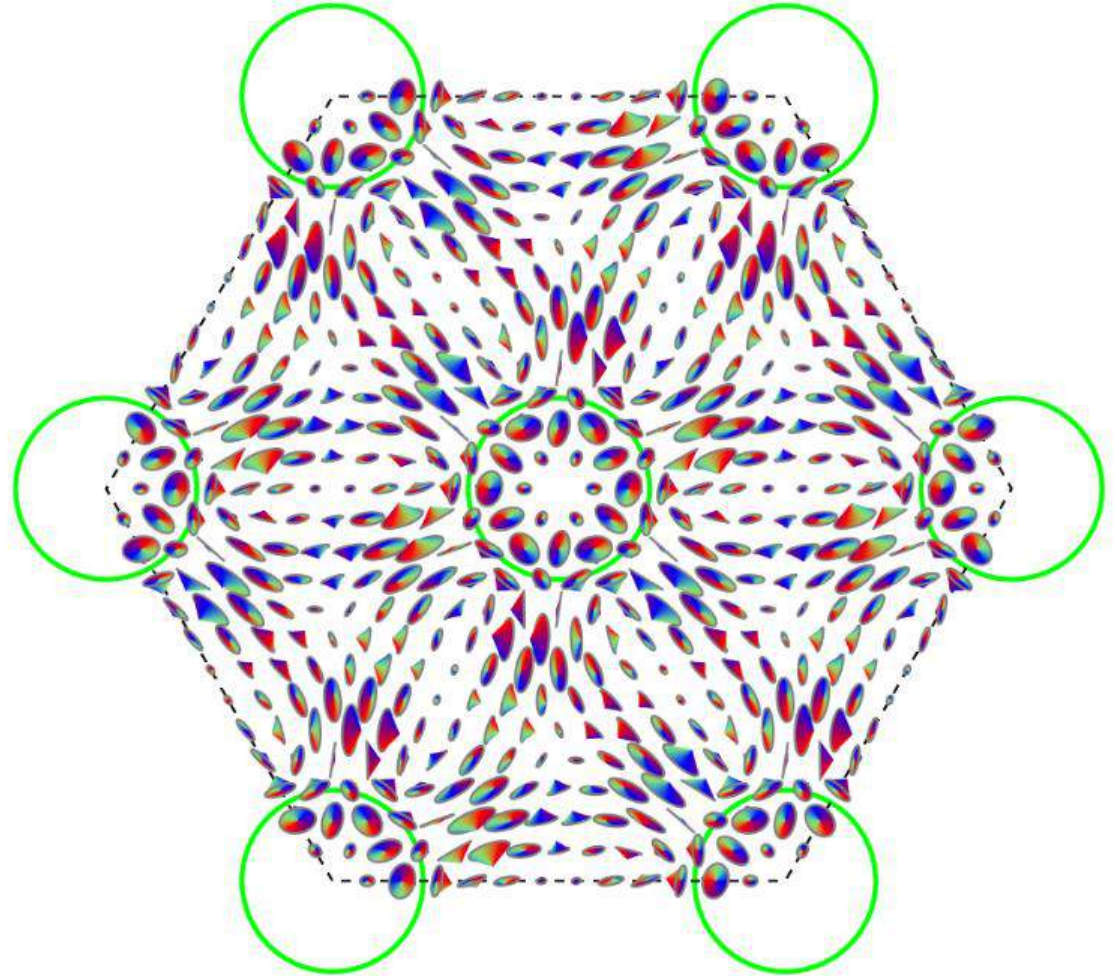


# Распределение поля в модах

Нижний дублет  $E_1 - E_{\text{res}} = 916.2 - 5.26i$  мэВ

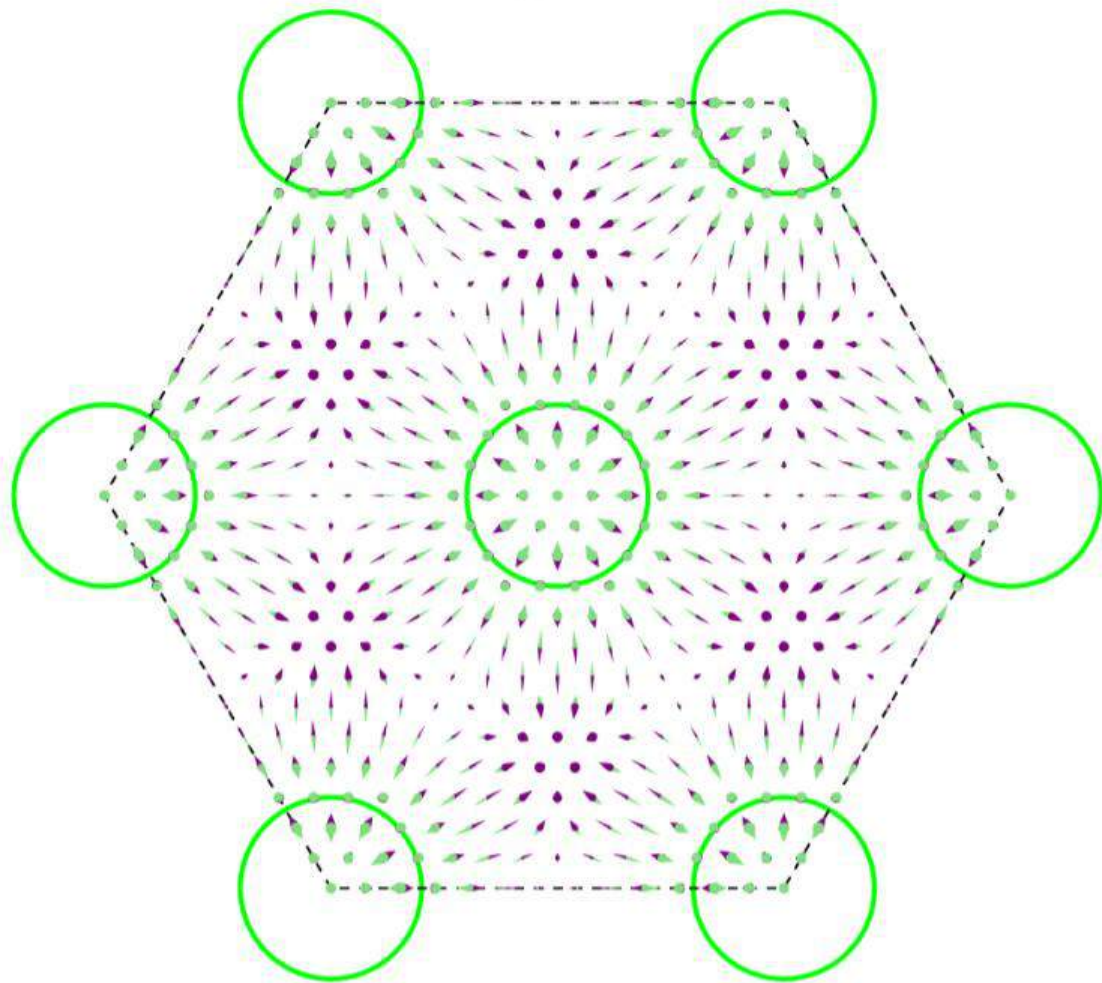


Нижний дублет  $E_2 - E_{\text{res}} = 837.6 - 0.43i$  мэВ

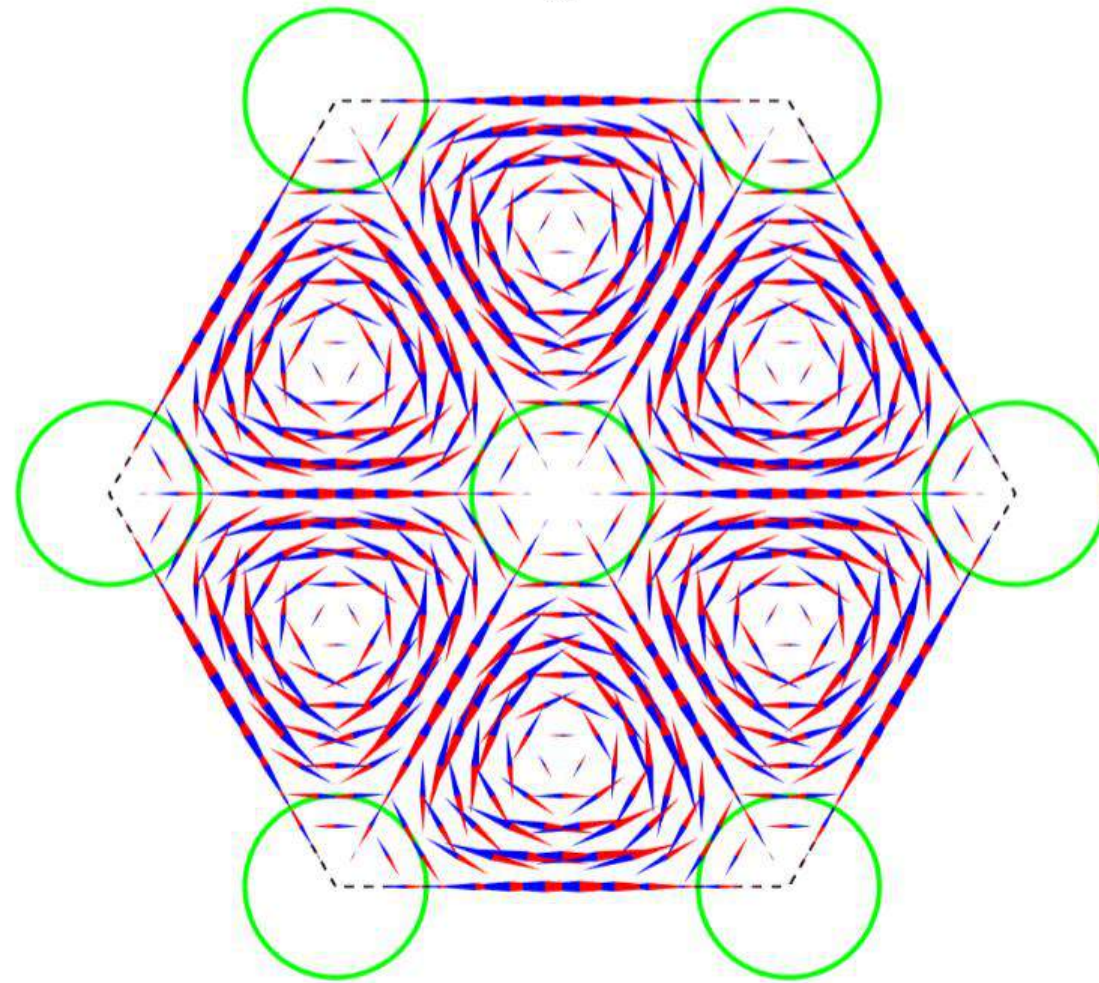


# Распределение поля в модах

Синглет  $A_1$  —  $E_{\text{res}} = 1088.3 - 0.70i$  мэВ

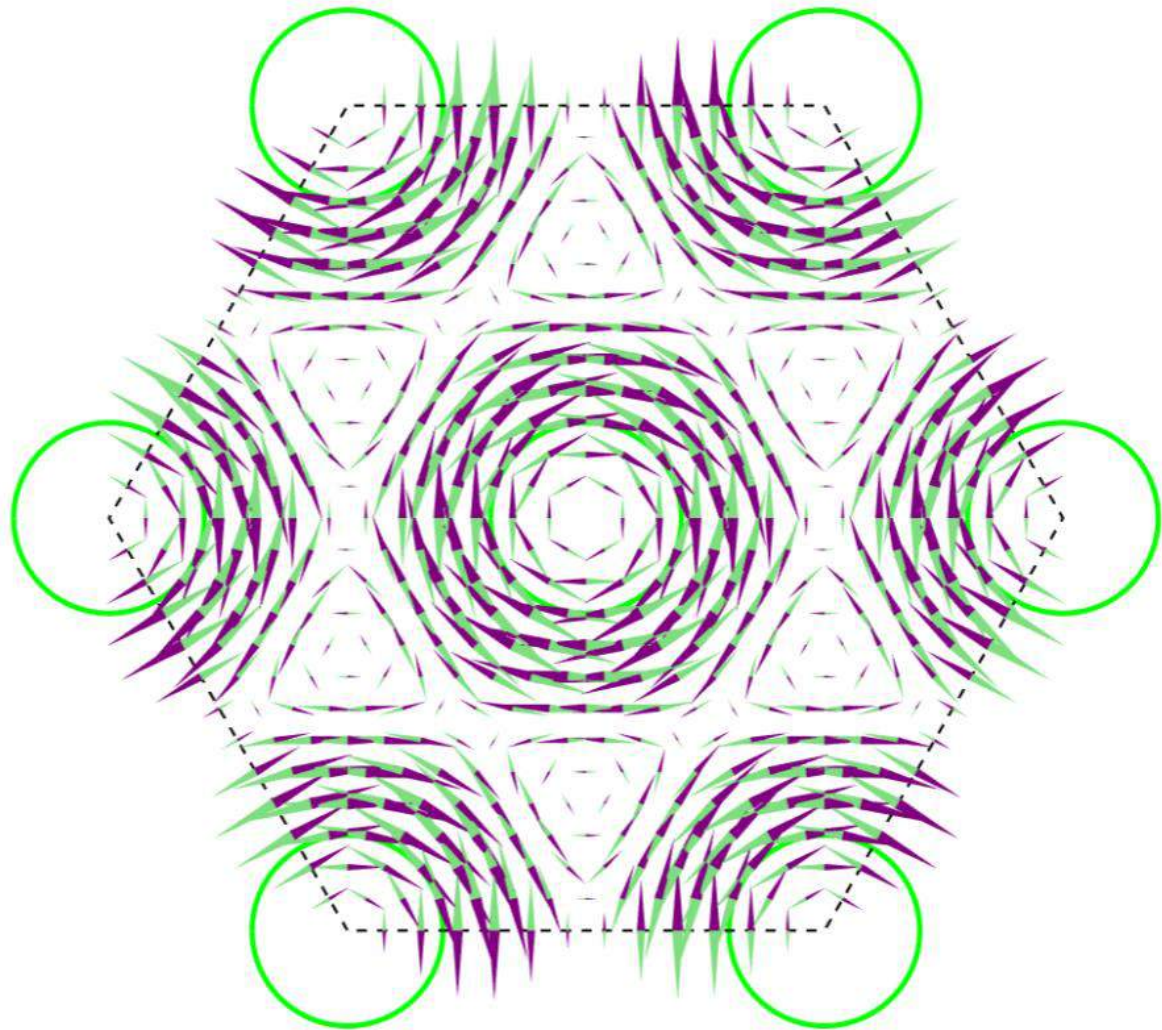


Синглет  $B_1$  —  $E_{\text{res}} = 812 - 0.46i$  мэВ

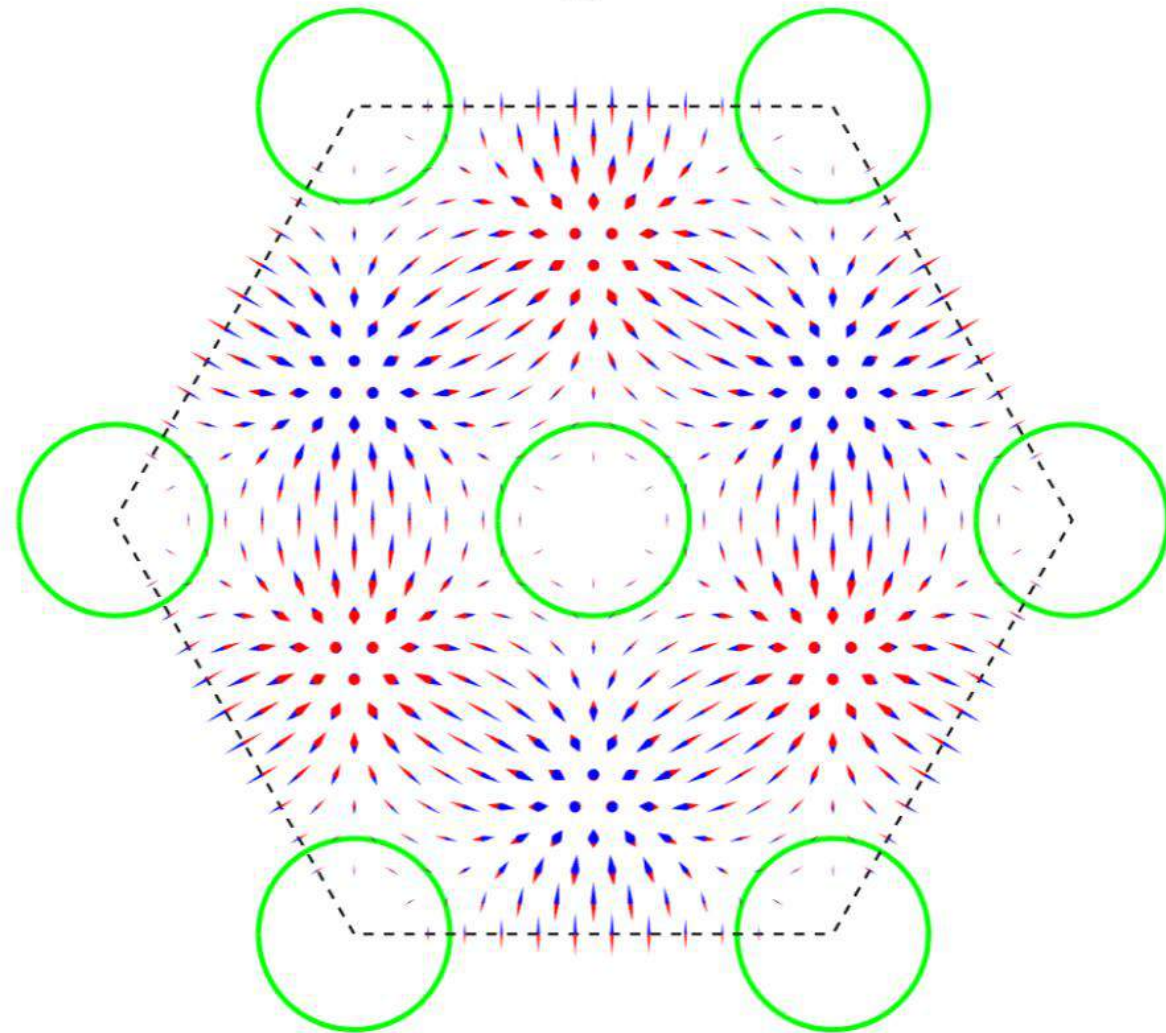


# Распределение поля в модах

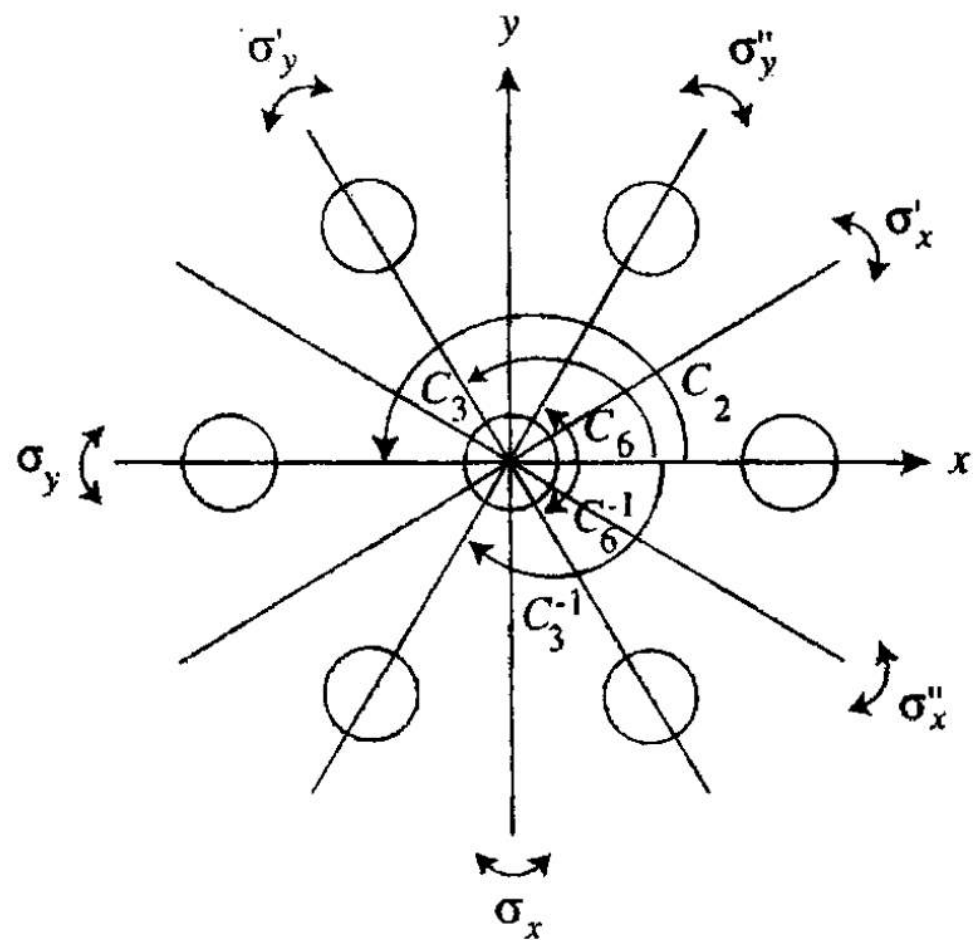
Синглет  $A_2$  —  $E_{\text{res}} = 843.9 - 0.44i$  мэВ



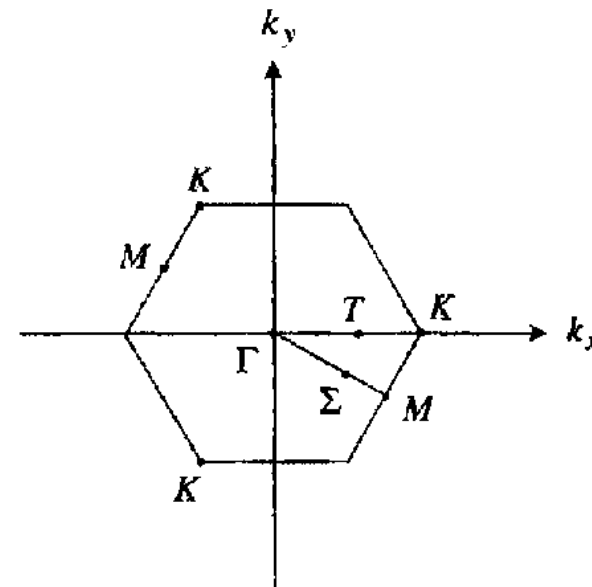
Синглет  $B_2$  —  $E_{\text{res}} = 898.4 - 0.61i$  мэВ



# Группа вращательной симметрии $C_{6v}$



Операции симметрии для двумерной треугольной решетки



$C_{6v}$  point group:  $C_{6v} = \{E, C_6, C_6^{-1}, C_3, C_3^{-1}, C_2, \sigma_x, \sigma_x', \sigma_x'', \sigma_y, \sigma_y', \sigma_y''\}$

# Основы теории групп

- Любая собственная функция является неприводимым представлением группы  $C_{6v}$ .
- Существуют одномерные и двумерные неприводимые представления
- Одномерные представления задаются одной функцией
- Двумерные неприводимые представления задаются двумя функциями; любая линейная комбинация этих собственных функций также является собственной функцией
- Каждое неприводимое представление имеет свою пространственную симметрию, которая выразится набором характеров

1D

$$Rf_{B_1}(\mathbf{r}_{//}) = \chi_{B_1}(R)f_{B_1}(\mathbf{r}_{//}).$$

2D

$$Rf_E^{(1)}(\mathbf{r}_{//}) = A_{11}f_E^{(1)}(\mathbf{r}_{//}) + A_{12}f_E^{(2)}(\mathbf{r}_{//}),$$

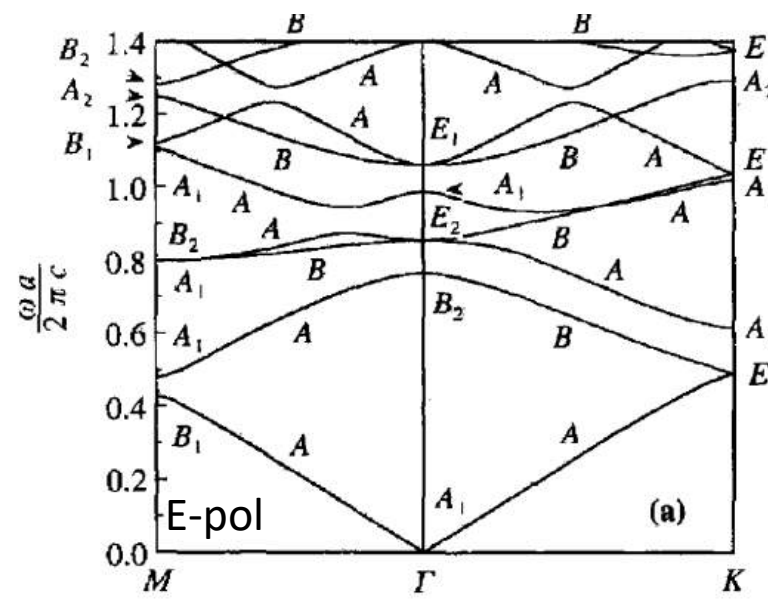
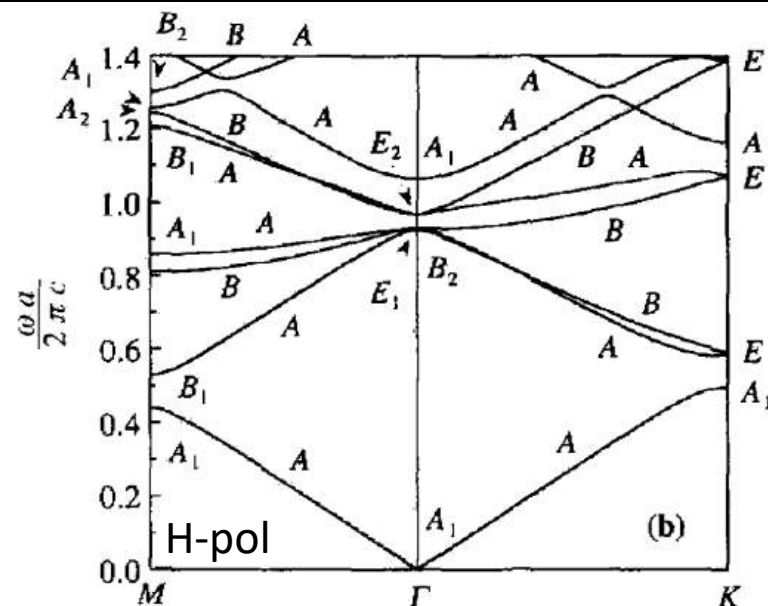
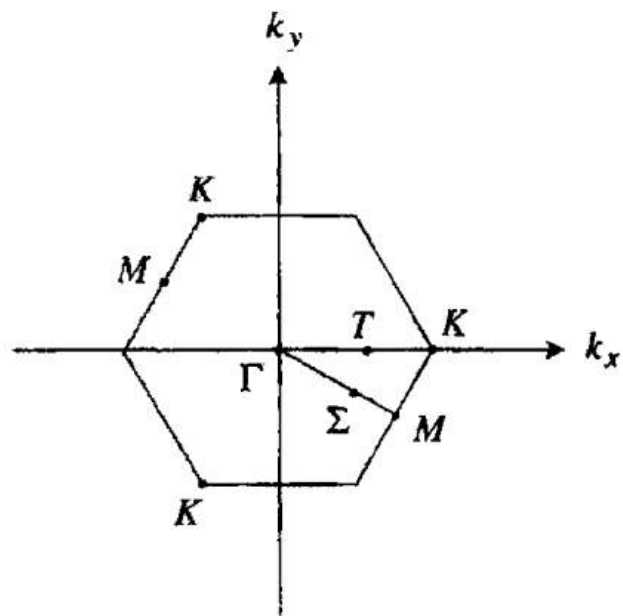
$$Rf_E^{(2)}(\mathbf{r}_{//}) = A_{21}f_E^{(1)}(\mathbf{r}_{//}) + A_{22}f_E^{(2)}(\mathbf{r}_{//}).$$

$$\text{Tr}(A) \equiv A_{11} + A_{22} = \chi_E(R)$$

$C_{6v}$	$E$	$2C_6$	$2C_3$	$C_2$	$3\sigma_y$	$3\sigma_x$
$A_1$	1	1	1	1	1	1
$A_2$	1	1	1	1	-1	-1
$B_1$	1	-1	1	-1	1	-1
$B_2$	1	-1	1	-1	-1	1
$E_1$	2	1	-1	-2	0	0
$E_2$	2	-1	-1	2	0	0

Таблица характеров для группы  $C_{6v}$

# Basics of group theory

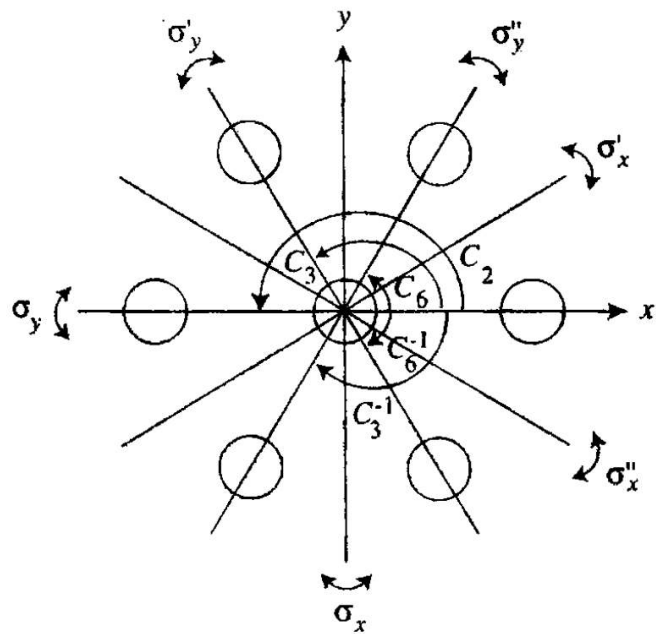


		$\Gamma$	$\Sigma$
$\Gamma$ :	$A_1$	$A$	$A$
	$A_2$	$B$	$B$
	$B_1$	$A$	$B$
	$B_2$	$B$	$A$
	$E_1, E_2$	$A+B$	$A+B$
$K$ :	$A_1$	$A$	-
	$A_2$	$B$	-
	$E$	$A+B$	-
$M$ :	$A_1, B_1$	-	$A$
	$A_2, B_2$	-	$B$

$C_{3v}$	$E$	$2C_3$	$3\sigma_v$
$A_1$	1	1	1
$A_2$	1	1	-1
$E$	2	-1	0

$C_{1h}$	$E$	$\sigma$
$A$	1	1
$B$	1	-1

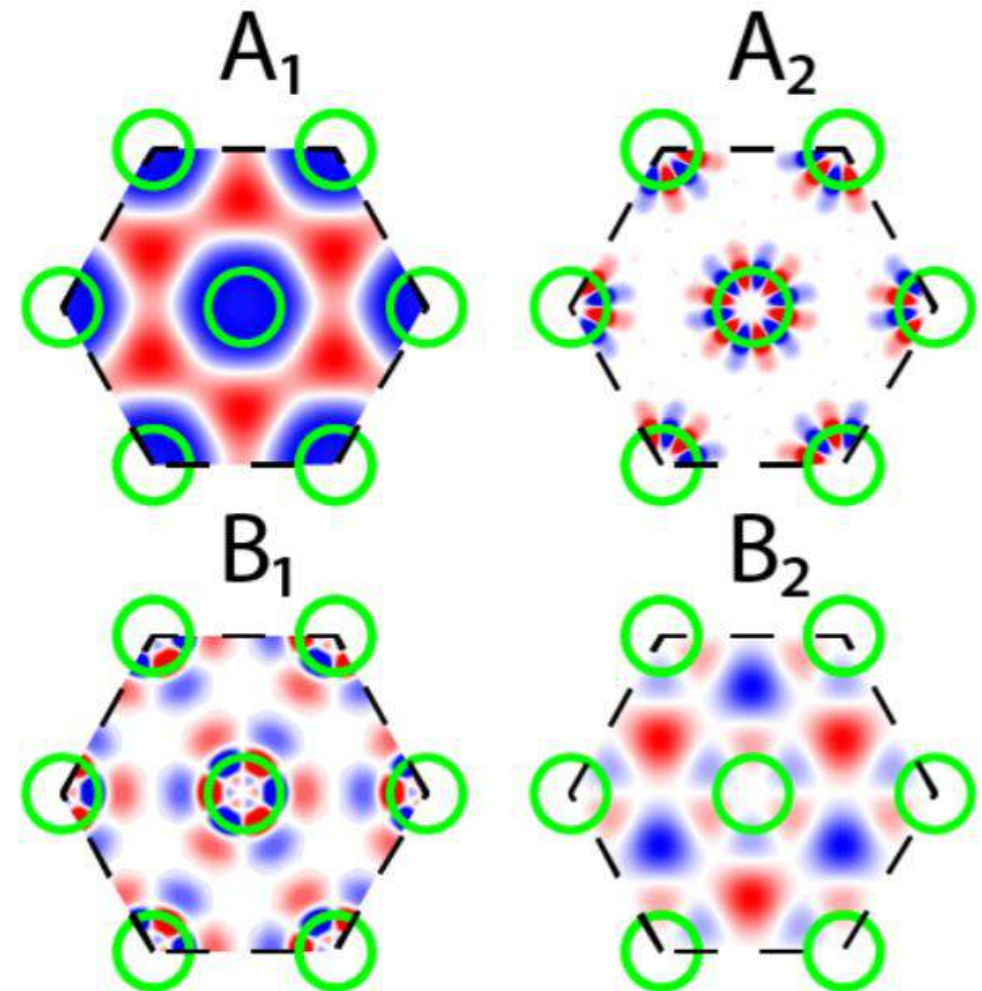
# Symmetry of quasiguided modes



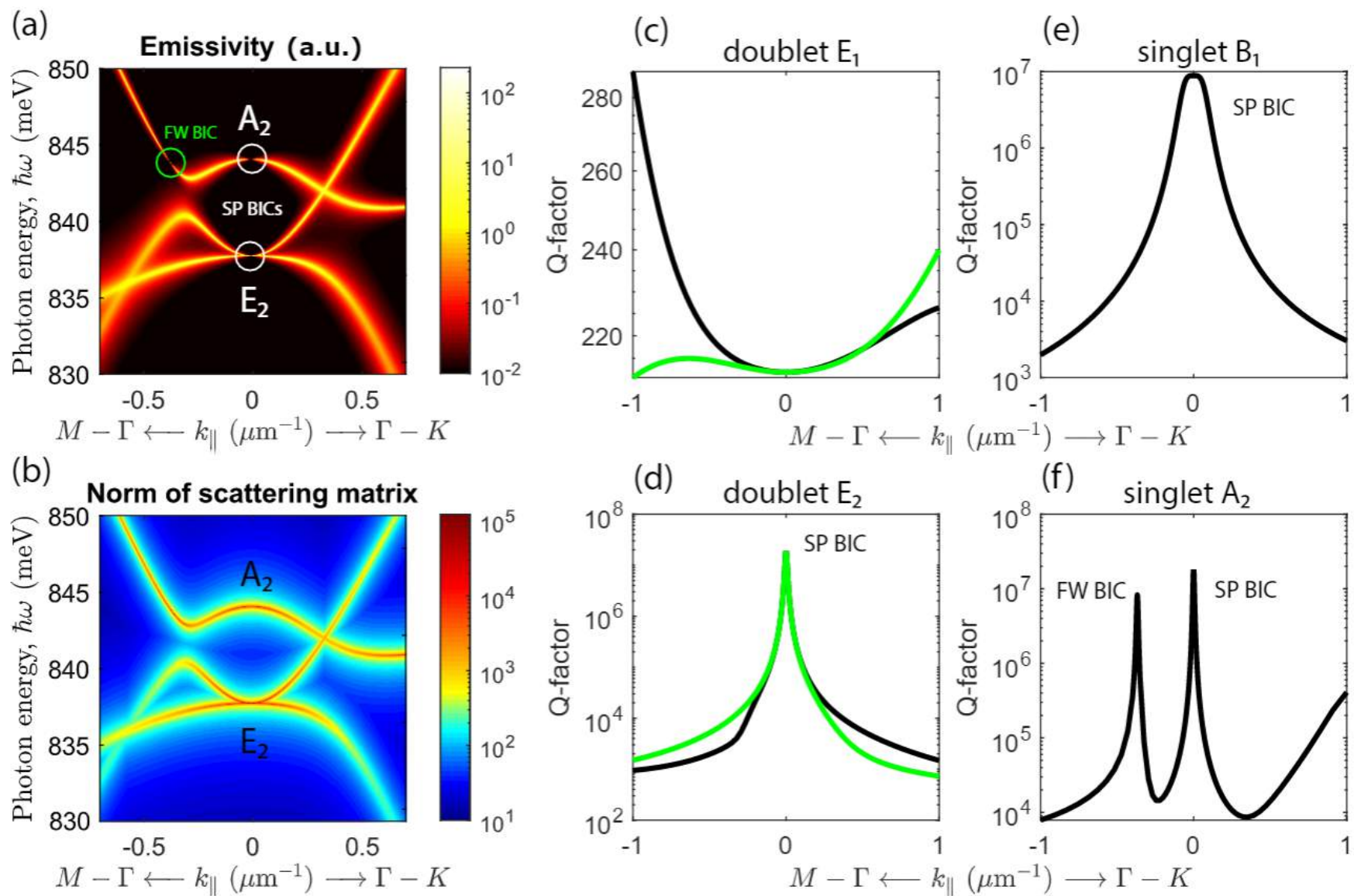
	E	2C <sub>6</sub>	2C <sub>3</sub>	C <sub>2</sub>	3σ <sub>y</sub>	3σ <sub>x</sub>
A <sub>1</sub>	1	1	1	1	1	1
A <sub>2</sub>	1	1	1	1	-1	-1
B <sub>1</sub>	1	-1	1	-1	1	-1
B <sub>2</sub>	1	-1	1	-1	-1	1
E <sub>1</sub>	2	1	-1	-2	0	0
E <sub>2</sub>	2	-1	-1	2	0	0

Таблица характеров точечной группы симметрии C<sub>6v</sub>.

Singlet modes



# Bound states in the continuum



# Resonances near $\Gamma$ -point

мода	мера поляризации моды при $k_x = 0$ $k_y = 0$	мера поляризации моды при $k_x = 0.2 \text{ мкм}^{-1}$ $k_y = 0.0$	мера поляризации действующего поля при $k_x = 0.2 \text{ мкм}^{-1}$ $k_y = 0$
A <sub>1</sub>	(0.088, 0.912)	(0.167, 0.833)	(0.943, 0.057)
A <sub>2</sub>	(1.000, 0.000)	(1.000, 0.000)	(0.999, 0.001)
B <sub>1</sub>	(1.000, 0.000)	(0.973, 0.027)	(0.989, 0.011)
B <sub>2</sub>	(0.132, 0.868)	(0.926, 0.074)	(0.786, 0.214)
E <sub>1</sub> верхний	(0.848, 0.152)	(0.162, 0.838) и (0.164, 0.836)	(0.171, 0.829) и (0.171, 0.829)
E <sub>1</sub> нижний	(0.374, 0.626)	(0.672, 0.328) и (0.688, 0.312)	(0.627, 0.373) и (0.627, 0.373)
E <sub>2</sub> верхний	$t(0.878, 0.122)$	(0.146, 0.854) и (0.145, 0.855)	(0.269, 0.731) и (0.272, 0.728)
E <sub>2</sub> нижний	(0.434, 0.566)	(0.995, 0.005) и (0.995, 0.005)	(0.993, 0.007) и (0.994, 0.006)

Таблица 3 — Мера поляризации  $C$  собственных мод ФКС, вычисленные для периода  $a = 600 \text{ нм}$ ,  $r/a = 0.2a$ . Величина  $C = (1, 0)$  соответствует чисто горизонтальной поляризации, а  $C = (0, 1)$  соответствует чисто вертикальной поляризации. При вычислении поляризационной меры  $C$  действующего поля (столбец 4) мы усредняем по  $x$ - и  $y$ -поляризациям падающей плоской волны.

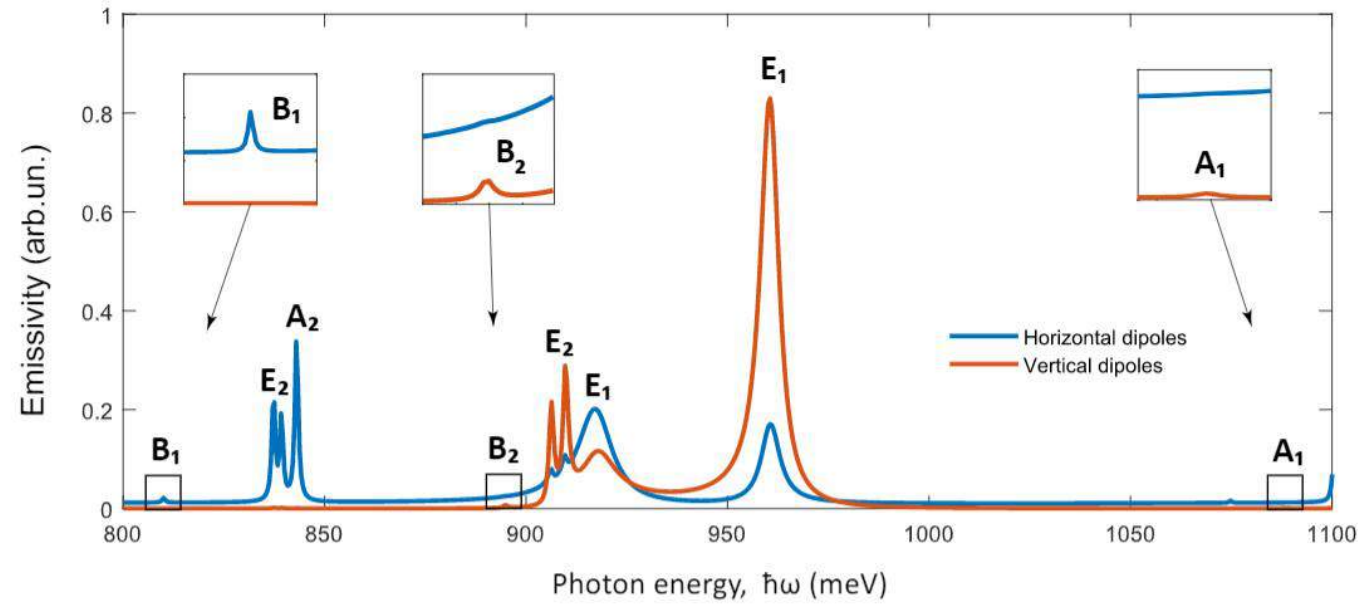


Рисунок 3.11 — Излучательная способность колеблющихся горизонтальных (синяя линия) и вертикальных (красные линии) диполей, равномерно распределенных по излучающему слою в ФКС с  $a = 600 \text{ нм}$ ,  $r/a = 0.2$ ,  $k_x = 0.2 \text{ мкм}^{-1}$ ,  $k_y = 0$ .



22-12-00351

Спасибо за внимание!